

UNIVERSITAT OBERTA DE CATALUNYA

Ingeniería Técnica de Telecomunicación

(Especialidad Telemática)

Diseño de un panel de LEDs

Alumno/a: Ignacio Francés Caballero

Dirigido por: Carlos Alberto Pacheco Navas

CURSO 2014-15 (Septiembre)

Agradecimientos

En primer lugar a toda la comunidad de la UOC que he ido encontrando en este largo camino.

Como no, un recuerdo para mis compañeros de trabajo Pablo y Jose Luis. Sin ellos las fuerzas me hubieran abandonado, pero sus ánimos siempre me motivaron para ir más allá.

Gracias a Carlos Alberto Pacheco por guiarme por el buen camino al inicio del TFC.

Y sobre todo, gracias a mis hijos Iñigo y Darío por respetar mis horas de estudio, a mi vida, María por su paciencia, comprensión y ánimos en los momentos duros que no han sido pocos en estos años.

Gracias a todos.

Presentación del autor del TFC

Este trabajo final de carrera ha sido realizado por **Ignacio Francés Caballero**.

Decidido a finalizar los estudios de ingeniería que comenzó a cursar en la Escuela Politécnica de La Almunia, emprendió hace seis años el largo trayecto de cursar Ingeniería Técnica de Telecomunicaciones por la Universidad Oberta Catalunya.

Actualmente, trabaja como técnico electrónico en el departamento de I+D de la empresa Azkoyen SA.

Su gran pasión, la tecnología, el deporte y un buen libro. Su debilidad, sus hijos y su esposa.

1 Índice

1.1 Índice de contenidos

1	Índice	1
1.1	Índice de contenidos	1
1.2	Índice de tablas	3
1.3	Índice de ilustraciones.....	3
2	Introducción	5
2.1	Enunciado del TFC	5
2.2	Objetivos	6
2.2.1	Objetivos de la asignatura.....	6
2.2.2	Objetivos del TFC.....	6
2.3	Calendario de trabajo.....	7
2.4	Hitos	8
2.5	Planificación	8
2.6	Diagramas de Gantt.....	12
3	Diseño de hardware	18
3.1	Driver de la matriz de <i>LEDs</i>	18
3.1.1	Estudio de la etapa de potencia del <i>LED</i>	18
3.1.2	Selección del <i>LED</i>	19
3.1.3	Solución del driver <i>LED</i>	20
3.2	Control de la matriz de <i>LEDs</i>	22
3.2.1	Estudio de soluciones.....	22
3.2.2	Desarrollo de la solución	22
3.3	Control de corriente del led	27
3.4	Sensor de luz	27
3.4.1	Selección del sensor	28
3.4.2	Diseño del amplificador.....	28
3.5	Adaptación de señales RS232	30
3.5.1	Análisis de la capa física RS232	30
3.5.2	Desarrollo del adaptador RS232	30
3.6	Microprocesador	31

- 3.6.1 Requisitos que debe cumplir 31
- 3.6.2 Selección del microcontrolador 32
- 3.6.3 Desarrollo del microcontrolador 32
- 3.7 Fuente de alimentación 33
 - 3.7.1 Análisis de los tipos de fuentes de alimentación 33
 - 3.7.2 Diseño de la fuente de alimentación 5V 34
 - 3.7.3 Diseño de la fuente de alimentación 3,3V 35
- 4 Diseño del firmware 35
 - 4.1 Selección del compilador 35
 - 4.2 Inicializaciones del microcontrolador 36
 - 4.3 Gestión de interrupciones 37
 - 4.4 Programa principal 38
 - 4.4.1 Módulos del programa principal 38
 - 4.4.2 Flujo del programa principal 38
 - 4.5 Comunicaciones mediante protocolo Modbus 39
 - 4.5.1 Introducción al protocolo 39
 - 4.5.2 Funcionamiento Maestro/Esclavo 39
 - 4.5.3 Direccionamiento y tramas 39
 - 4.5.4 Modos de transmisión serie 40
 - 4.5.5 El mapa de memoria 41
 - 4.5.6 Comandos o funciones 42
 - 4.5.7 Códigos de error en la respuesta 43
 - 4.5.8 Inicialización de periféricos UART 43
 - 4.5.9 Desarrollo del software 44
 - 4.5.10 Simulación del protocolo Modbus 45
 - 4.6 Control de la matriz de LEDs 46
 - 4.6.1 Inicialización de los periféricos 48
 - 4.6.2 Interrupción del *Clock* 49
 - 4.6.3 Simulación 50
 - 4.7 Control de la luz ambiente 51
 - 4.7.1 Periféricos para controlar la luz ambiente 51
 - 4.7.2 Desarrollo de la solución 52
 - 4.7.3 Simulación de la solución 52
- 5 Industrialización de la solución 54

1 - Índice

5.1	Esquema eléctrico del TFC	54
5.2	Ruteado de la PCB	55
5.3	Listado de componentes	56
6	Conclusiones	58
7	Bibliografía	59

1.2 Índice de tablas

Tabla 1 - Disponibilidad de horas semanales	7
Tabla 2 - Calendario	7
Tabla 3 - Hitos	8
Tabla 4 - Planificación de las tareas	8
Tabla 5 - Direccionamiento en Modbus	39
Tabla 6 - Trama Modbus. <i>Protocol Data Unit</i>	40
Tabla 7 - Formato de trama en Modbus	40
Tabla 8 - Formato de trama en modo RTU	40
Tabla 9 - Mapa de memoria de la aplicación	42
Tabla 10 - Comandos utilizados en la aplicación	42
Tabla 11 - Solicitud maestro. Comando 16	42
Tabla 12 - Respuesta esclavo. Comando 16	43
Tabla 13 - Solicitud maestro. Comando 04 -03	43
Tabla 14 - Respuesta esclavo. Comando 04 - 03	43
Tabla 15 - Códigos de error en Modbus	43

1.3 Índice de ilustraciones

Ilustración 1 - Esquema de bloques	5
Ilustración 2 - Gantt plan de trabajo	12
Ilustración 3 - Gantt PEC2 parte 1	13
Ilustración 4 - Gantt PEC2 parte 2	14
Ilustración 5 - Gantt PEC3 parte 1	15
Ilustración 6 - Gantt PEC3 parte 2	16
Ilustración 7 - Gantt memoria	17
Ilustración 8 - Fuente de corriente	18
Ilustración 9 - Tensión de la base vs Intensidad <i>LED</i>	18
Ilustración 10 - Corriente directa vs T máx. ON	19
Ilustración 11 - Driver del <i>LED</i>	21
Ilustración 12 - Simulación <i>PsPice</i> . Tensión base Q1 vs I _c Q1	21
Ilustración 13 - Ejemplo de manejo del driver de un <i>LED</i>	23
Ilustración 14 - Simulación <i>PsPice</i> del driver. Activaciones vs Corriente del <i>LED</i>	23
Ilustración 15 - Circuito de contadores para activación filas y columnas	24
Ilustración 16 - Simulación <i>PsPice</i> . Activación de filas y columnas	24
Ilustración 17 - Esquema eléctrico de la matriz y control de 16x16 <i>LEDs</i>	25
Ilustración 18 - Simulación <i>PsPice</i> . PWM aplicado a la matriz de 5V	26
Ilustración 19 - Simulación <i>PsPice</i> . PWM aplicado a la matriz de 2,5V	26
Ilustración 20 - Filtro <i>PWM</i> y adaptador de 3,3V a 5V	27
Ilustración 21 - Corriente vs Iluminación	28
Ilustración 22 - Modelo amplificador transconductancia	29

Ilustración 23 – Esquema eléctrico amplificador transconductancia	29
Ilustración 24 – Simulación <i>PsPice</i> . Corriente vs Tensión de salida.....	30
Ilustración 25 - Cable conexión RS232 DB9-DB9	30
Ilustración 26 - Cable conexión RS232 USB-DB9	30
Ilustración 27 - Esquema eléctrico adaptación RS232.....	31
Ilustración 28 - <i>Pin out</i> MAX3232	31
Ilustración 29 - Esquema de bloques del microcontrolador MKL25Z128.....	32
Ilustración 30 - Encapsulado y pines de MKL25Z128.....	32
Ilustración 31 - Esquema eléctrico microcontrolador	33
Ilustración 32 - Reductor <i>buck</i>	34
Ilustración 33 - Elevador <i>boost</i>	34
Ilustración 34 - Esquema eléctrico de la fuente de alimentación	34
Ilustración 35 - Regulador lineal con salida 3,3V	35
Ilustración 36 - Muestra de <i>Processor Expert</i>	36
Ilustración 37 - <i>Processor Expert</i> . Configuración del <i>clock</i> interno	36
Ilustración 38 - Fragmento de código fuente para la inicialización de la CPU.....	37
Ilustración 39 - Flujo del programa principal <i>main()</i>	38
Ilustración 40 - Comunicaciones Maestro/Esclavo en Modbus.....	39
Ilustración 41- Flujo de comunicaciones en modo RTU	41
Ilustración 42 - <i>Processor Expert</i> . Interrupciones de la UART	44
Ilustración 43 - <i>Processor Expert</i> . Inicialización de la UART	44
Ilustración 44 - Flujo de comunicaciones Modbus	45
Ilustración 45 - Simulación del comando 0x03 de Modbus.....	45
Ilustración 46 - Simulación del comando 0x10 de Modbus.....	46
Ilustración 47 - Secuencia de inicio de un nuevo mensaje	46
Ilustración 48 - Flujo de <i>ControlMatriz_Maquina()</i>	47
Ilustración 49 - <i>Processor Expert</i> . Inicialización del <i>timer</i> de 35us.....	48
Ilustración 50 - <i>Processor Expert</i> . Inicialización <i>Clock_Counter</i>	48
Ilustración 51 - <i>Processor Expert</i> . Inicialización <i>Data_Counter</i>	48
Ilustración 52 - <i>Processor Expert</i> . Inicialización <i>Reset_Counter</i>	49
Ilustración 53 - Flujo de la interrupción de 35us	49
Ilustración 54 - Simulación datos tipo 1 en matriz, primer tramo.....	50
Ilustración 55 - Simulación datos tipo 1 en matriz, barrido completo	50
Ilustración 56 - Simulación datos tipo 2 en matriz, primer tramo.....	50
Ilustración 57 - Simulación datos tipo 2 en matriz, barrido completo	50
Ilustración 58 - <i>Processor Expert</i> . Inicialización <i>ADC_Converter</i>	51
Ilustración 59 - <i>Processor Expert</i> . Selección del pin para <i>ADC_Converter</i>	51
Ilustración 60 - <i>Processor Expert</i> . Inicialización de <i>PWM_Led</i>	51
Ilustración 61 - Simulación luz ambiente. Luz nula.	53
Ilustración 62 - Simulación luz ambiente. Luz muy debil.	53
Ilustración 63 - Simulación de luz ambiente. Luz de interior máxima	53
Ilustración 64 - Esquema eléctrico final del TFC.....	54
Ilustración 65 - PCB cara pistas <i>botton</i>	55
Ilustración 66 - PCB cara pistas <i>top</i>	55
Ilustración 67 - PCB Situación de componentes	55

2 Introducción

2.1 Enunciado del TFC

El TFC se centra en diseñar un panel de *LEDs* capaz de mostrar cualquier información transmitida a través de una conexión RS232 y mediante el protocolo Modbus. Además la solución deberá ser eficiente energéticamente minimizando el consumo energético del producto.

El producto estará dividido en los siguientes bloques:

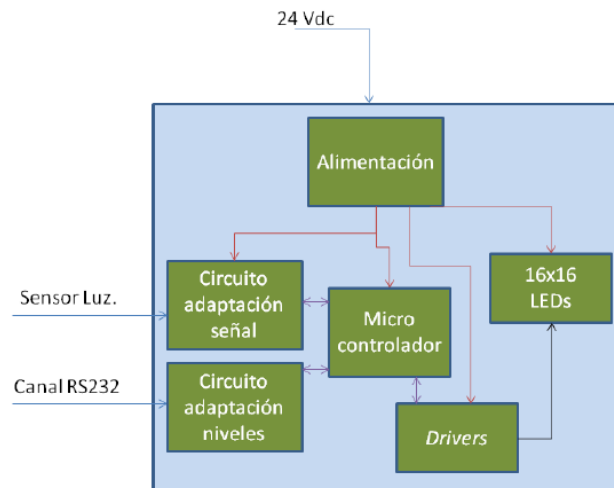


Ilustración 1 - Esquema de bloques

La función de cada bloque será la siguiente:

- **Alimentación:** se encargara de adaptar la tensión de entrada a los niveles de tensión necesarios de cada uno de los bloques.
- **Circuito de adaptación de señal:** mediante un sistema de amplificación adaptara la señal de un sensor de luz. La salida de este bloque ira conectada directamente a una entrada analógica del microprocesador. Dependiendo del nivel de luz los *LEDs* deberán lucir más o menos.
- **Circuito adaptación de niveles:** tiene que realizar la conversión de los niveles RS232 del PC a niveles TTL para que el microprocesador pueda procesarlos.
- **Microcontrolador:** mediante un algoritmo grabado en la Flash realizara el control de todas las funciones de control de *LEDs*, medición de sensores y comunicaciones.
- **Drivers:** es el conjunto de circuitos que controlara mediante un numero n de entradas y salidas el encendido y apagado de los *LEDs* y la luminosidad de estos.
- **16x16 LEDs:** matriz de *LEDs* en la que se deberá mostrar el mensaje transmitido a través de la línea serie.

2.2 Objetivos

Los objetivos se dividen en dos tipos:

- Los objetivos de la asignatura
- Los objetivos del TFC.

2.2.1 Objetivos de la asignatura

El objetivo de la asignatura es realizar un TFC en el que se deberán aplicar los conocimientos adquiridos en las asignaturas cursadas en la titulación **Ingeniería Técnica de Telecomunicaciones (Especialidad Telemática)**.

En concreto se deberán validar las competencias adquiridas en las asignaturas relacionadas con las aplicaciones electromagnéticas y electrónicas.

Los objetivos identificados son:

- Identificar los objetivos específicos de un proyecto.
- Dar soluciones eficaces y adecuadas a los objetivos identificados.
- Realizar los ensayos y/o simulaciones de las soluciones aportadas y saber interpretar los resultados obtenidos.
- Emitir las conclusiones basándonos en los apartados anteriores y saber identificar las debilidades, fortalezas y oportunidades de la solución aportada. Todo esto debe ser el punto de partida para plantear líneas futuras de trabajo.

También será necesario poner en práctica los conocimientos adquiridos en las asignaturas dedicadas a la gestión y organización de proyectos. Así pues, se deberán adquirir las siguientes competencias:

- Saber identificar de manera clara que es lo que se ha de realizar en el proyecto. Detectar las necesidades del cliente e identificarlas.
- Tener capacidad para realizar un pliego de especificaciones real y poder dar una solución lo más ajustada posible tanto en tiempo como en precio.
- Demostrar que se conocen los métodos y procedimientos necesarios para realizar una planificación eficiente.
- Saber detectar los riesgos que están escondidos en la ejecución del proyecto y poder anticiparnos mediante planes de contingencia.
- Redactar una memoria final y un video de presentación en los cuales quede plasmada una síntesis del trabajo realizado. Mediante la lectura o visualización del video una persona ajena al TFC debe entender de manera clara el trabajo realizado y la solución aportada.

2.2.2 Objetivos del TFC

Los objetivos del TFC son medibles en función de la solución que se debe desarrollar. En el caso actual se pide desarrollar un **“Panel de LEDs”**. Por lo tanto debemos de alcanzar las siguientes competencias:

- Buscar los componentes adecuados a las soluciones aportadas y familiarizarnos con las hojas técnicas de los mismos.
- Diseñar un circuito para el control de *LEDs* utilizando las menores señales posibles y la menor energía.
- Diseñar un circuito capaz de leer la luz ambiente.
- Conocer e implementar una solución software basada en microprocesador para el problema planteado.

2 - Introducción

- Calcular y diseñar una fuente de alimentación ajustada a las necesidades de la solución propuesta.
- Conocer e implementar el protocolo Modbus y adaptar las señales que provienen del RS232.
- Aprender a manejar software para el dibujo de esquemáticos y el ruteado de tarjetas electrónicas. La última fase del TFC será la de presentar un producto terminado listo para fabricar.

2.3 Calendario de trabajo

El calendario de trabajo que se plantea es en función de las horas libres que se dispone a lo largo de la semana debido a ocupaciones como la familia y el trabajo.

Tabla 1 - Disponibilidad de horas semanales

Día de la semana	Hora de inicio	Hora de fin	Número de horas
Lunes a Jueves	17:30h	20:30h	12
Viernes	16:00h	20:00h	4
Sábado	17:00h	20:00h	3
Domingo	17:00h	20:00h	3
Total horas semanales			22

A continuación se detallan los días en los que no se trabajara en el TFC.

Tabla 2 - Calendario

julio						
L	M	X	J	V	S	D
	1	2	3	4	5	6
7	8	9	10	11	12	13
14	15	16	17	18	19	20
21	22	23	24	25	26	27
28	29	30	31			

agosto						
L	M	X	J	V	S	D
				1	2	3
4	5	6	7	8	9	10
11	12	13	14	15	16	17
18	19	20	21	22	23	24
25	26	27	28	29	30	31

septiembre						
L	M	X	J	V	S	D
1	2	3	4	5	6	7
8	9	10	11	12	13	14
15	16	17	18	19	20	21
22	23	24	25	26	27	28
29	30					

octubre						
L	M	X	J	V	S	D
		1	2	3	4	5
6	7	8	9	10	11	12
13	14	15	16	17	18	19
20	21	22	23	24	25	26
27	28	29	30	31		

noviembre						
L	M	X	J	V	S	D
					1	2
3	4	5	6	7	8	9
10	11	12	13	14	15	16
17	18	19	20	21	22	23
24	25	26	27	28	29	30

diciembre						
L	M	X	J	V	S	D
1	2	3	4	5	6	7
8	9	10	11	12	13	14
15	16	17	18	19	20	21
22	23	24	25	26	27	28
29	30	31	1	2	3	4
5	6	7				

Leyenda:	Inicio del TFC	Días hábiles	Días no hábiles	Fin del TFC
-----------------	-----------------------	---------------------	------------------------	--------------------

Por lo tanto, la disponibilidad de horas totales para llevar a cabo la ejecución del proyecto es de **333 horas**.

2.4 Hitos

Los hitos del TFC quedaran directamente relacionados con las entregas planificadas.

Tabla 3 - Hitos

Hito	Fecha limite
Borrador plan de trabajo	27/09/2014
Corrección plan de trabajo	29/09/2014
Entrega plan de trabajo	30/09/2014
Borrador PEC2	20/10/2014
Corrección PEC2	21/10/2014
Entrega PEC2	22/10/2014
Borrador PEC3	02/12/2014
Corrección PEC3	03/12/2014
Entrega PEC3	04/12/2014
Borrador memoria TFC	14/12/2014
Corrección memoria TFC	15/12/2014
Entrega memoria TFC	07/01/2015

2.5 Planificación

A continuación se muestra la planificación del TFC desglosando la duración estimada de cada una de ellas.

Tabla 4 - Planificación de las tareas

Id	Tarea	Predecesoras	Duración	Comienzo	Fin
1	Definición del TFC				
1.1	Inicio de semestre		3 horas	17/09/14	17/09/14
1.2	Enunciado del TFC	1.1	2 horas	18/09/14	18/09/14
1.3	Videoconferencia	1.2	2 horas	20/09/14	20/09/14
2	Plan de trabajo				
2.1	Obtener documentación	1.3	1 hora	20/09/14	21/09/14
2.2	Leer documentación	2.1	3 horas	21/09/14	22/09/14
2.3	Buscar bibliografía	2.2	4 horas	22/09/14	23/09/14
2.4	Redactar índice del borrador	2.3	1 hora	23/09/14	23/09/14
2.5	Redactar borrador	2.4	6 horas	23/09/14	25/09/14
2.6	Planificar tareas	2.5	6 horas	25/09/14	27/09/14
2.7	Finalización del borrador	2.6	2 horas	27/09/14	28/09/14
2.8	Corrección del borrador	2.7	4 horas	28/09/14	29/09/14
2.9	Entregar el Plan de Trabajo	2.8	0,5 horas	30/09/14	30/09/14
3	PEC2 (Diseño de hardware)				
3.1	Diseño de los drives de la matriz de LEDs				
3.1.1	Elección de los LEDs	2.9	3 horas	30/09/14	01/10/14
3.1.2	Estudio de la solución	3.1.1	3 horas	01/10/14	02/10/14
3.1.3	Implementación de la solución	3.1.2	4 horas	02/10/14	03/10/14
3.1.4	Memoria	3.1.3	2 horas	03/10/14	03/10/14
3.2	Diseño de la matriz de LEDs				
3.2.1	Análisis de sistemas reales	3.1.4	2 horas	03/10/14	04/10/14
3.2.2	Estudio de la solución	3.2.1	2 horas	04/10/14	05/10/14
3.2.3	Implementación de la solución	3.2.2	2 horas	05/10/14	05/10/14
3.2.4	Memoria	3.2.3	2 horas	05/10/14	06/10/14

3.3	Diseño del controlador de luz ambiente				
3.3.1	Análisis de soluciones comerciales	3.2.4	1 hora	06/10/14	06/10/14
3.3.2	Análisis de amplificadores	3.3.1	5 horas	06/10/14	08/10/14
3.3.3	Implementación de la solución	3.3.2	6 horas	08/10/14	10/10/14
3.3.4	Memoria	3.3.3	2 horas	10/10/14	10/10/14
3.4	Diseño del adaptador RS232				
3.4.1	Estudio de mercado	3.3.4	2 horas	10/10/14	12/10/14
3.4.2	Implementación de la solución	3.4.1	1 hora	12/10/14	12/10/14
3.4.3	Memoria	3.4.2	1 hora	12/10/14	13/10/14
3.5	Selección e implementación del microcontrolador				
3.5.1	Estudio de requisitos	3.4.3	1 hora	13/10/14	13/10/14
3.5.2	Estudio de mercado	3.5.1	1 hora	13/10/14	13/10/14
3.5.3	Implementación de la solución	3.5.2	2 horas	13/10/14	14/10/14
3.5.4	Memoria	3.5.3	4 horas	14/10/14	15/10/14
3.6	Diseño de la fuente de alimentación				
3.6.1	Estudio de requisitos	3.5.4	2 horas	15/10/14	16/10/14
3.6.2	Estudio de mercado	3.6.1	3 horas	16/10/14	17/10/14
3.6.3	Implementación de la solución	3.6.2	6 horas	17/10/14	19/10/14
3.6.4	Memoria	3.6.3	3 horas	19/10/14	20/10/14
3.7	Redacción y entrega PEC2				
3.7.1	Completar la memoria de la PEC2.	3.6.4	4 horas	20/10/14	21/10/14
3.7.2	Enviar PEC2 al consultor para revisión.	3.7.1	0 horas	21/10/14	21/10/14
3.7.3	Revisión	3.7.2	2 horas	21/10/14	22/10/14
3.7.4	Correcciones propuestas	3.7.3	2 horas	22/10/14	22/10/14
3.7.5	Entregar la PEC2.	3.7.4	0,5 horas	22/10/14	22/10/14
4	PEC3 (Diseño de firmware)				
4.1	Selección y aprendizaje de compilador				
4.1.1	Selección de herramientas	3.7.5	2 horas	23/10/14	23/10/14
4.1.2	Aprendizaje del compilador	4.1.1	20 horas	23/10/14	29/10/14
4.2	Desarrollo de las inicializaciones del microcontrolador				
4.2.1	Estudio registros de control	4.1.1	5 horas	23/10/14	24/10/14
4.2.2	Detección de registros necesarios	4.2.1	1 hora	25/10/14	25/10/14
4.2.3	Implementación de la solución.	4.2.2	2 horas	25/10/14	25/10/14
4.2.4	Simulación	4.2.3	2 horas	26/10/14	26/10/14
4.2.5	Memoria	4.2.4	2 horas	26/10/14	27/10/14
4.3	Desarrollo de las interrupciones del microcontrolador				
4.3.1	Estudio registros de interrupción	4.2.5	2 horas	27/10/14	27/10/14
4.3.2	Detección de interrupciones necesarias	4.3.1	1 hora	28/10/14	28/10/14
4.3.3	Implementación de la solución.	4.3.2	2 horas	28/10/14	28/10/14
4.3.4	Simulación	4.3.3	2 horas	29/10/14	29/10/14
4.3.5	Memoria	4.3.4	1 hora	29/10/14	29/10/14
4.4	Diseño del control de la matriz de LEDs				
4.4.1	Estudio de periféricos	4.3.5	2 horas	30/10/14	30/10/14
4.4.2	Flujo de programa.	4.4.1	2 horas	30/10/14	31/10/14
4.4.3	Implementación de la solución.	4.4.2	6 horas	31/10/14	02/11/14
4.4.4	Simulación.	4.4.3	2 horas	03/11/14	03/11/14
4.4.5	Memoria	4.4.4	3 horas	03/11/14	04/11/14
4.5	Diseño del control de la luz ambiente				

4.5.1	Estudio del conversor A/D del microcontrolador.	4.4.5	2 horas	04/11/14	05/11/14
4.5.2	Flujo de programa.	4.5.1	2 horas	05/11/14	05/11/14
4.5.3	Implementación de la solución.	4.5.2	4 horas	06/11/14	07/11/14
4.5.4	Simulación	4.5.3	6 horas	07/11/14	08/11/14
4.5.5	Análisis de resultados	4.5.4	6 horas	09/11/14	10/11/14
4.5.6	Implementación de la tabla o función matemática.	4.5.5	3 horas	11/11/14	11/11/14
4.5.7	Memoria	4.5.6	3 horas	12/11/14	12/11/14
4.6	Creación del mapa de caracteres				
4.6.1	Búsqueda	4.5.7	4 horas	13/11/14	14/11/14
4.6.2	Desarrollo o adaptación	4.6.1	2 horas	14/11/14	14/11/14
4.6.3	Memoria	4.6.2	2 horas	14/11/14	15/11/14
4.7	Diseño del protocolo Modbus				
4.7.1	Búsqueda	4.6.3	2 horas	15/11/14	15/11/14
4.7.2	Estudio del protocolo	4.7.1	2 horas	16/11/14	16/11/14
4.7.3	Estudio de necesidades	4.7.2	6 horas	16/11/14	18/11/14
4.7.4	Diseño del mapa de memoria	4.7.3	2 horas	18/11/14	19/11/14
4.7.5	Implementación del mapa de memoria.	4.7.4	2 horas	19/11/14	19/11/14
4.7.6	Estudio de la UART del microcontrolador	4.7.5	2 horas	20/11/14	20/11/14
4.7.7	Implementación del algoritmo de comunicaciones.	4.7.6	8 horas	20/11/14	22/11/14
4.7.8	Simulación	4.7.7	4 horas	23/11/14	24/11/14
4.7.9	Memoria	4.7.8	4 horas	24/11/14	25/11/14
4.8	Diseño del programa principal				
4.8.1	Flujo del programa principal.	4.7.9	3 horas	25/11/14	26/11/14
4.8.2	Implementación de la solución final.	4.8.1	6 horas	26/11/14	28/11/14
4.8.3	Simulación	4.8.2	6 horas	28/11/14	30/11/14
4.8.4	Memoria	4.8.3	4 horas	30/11/14	01/12/14
4.9	Redacción y entrega PEC3				
4.9.1	Completar la memoria de la PEC3.	4.8.4	4 horas	01/12/14	02/12/14
4.9.2	Enviar PEC3 al consultor para revisión.	4.9.1	0 horas	02/12/14	02/12/14
4.9.3	Revisión	4.9.2	2 horas	03/12/14	03/12/14
4.9.4	Correcciones propuestas	4.9.3	2 horas	03/12/14	04/12/14
4.9.5	Entregar la PEC3.	4.9.4	0,5 horas	04/12/14	04/12/14
5	Memoria				
5.1	Industrialización del producto				
5.1.1	Dibujar el esquema final	4.9.5	3 horas	04/12/14	05/12/14
5.1.2	Realizar el ruteado de la o las PCB	5.1.1	9 horas	05/12/14	08/12/14
5.1.3	Generar el fichero <i>Gerber</i>	5.1.2	2 horas	08/12/14	08/12/14
5.1.4	Listado de componentes	5.1.3	1 hora	08/12/14	09/12/14
5.1.5	Calculo del coste final de la solución	5.1.4	1 hora	09/12/14	09/12/14
5.2	Memoria técnica del TFC				
5.2.1	Recopilación de la información generada	5.1.5	2 horas	09/12/14	10/12/14
5.2.2	Integración de contenidos	5.2.1	2 horas	10/12/14	10/12/14
5.2.3	Redacción de conclusiones	5.2.2	3 horas	10/12/14	12/12/14
5.2.4	Redacción del borrador	5.2.3	6 horas	12/12/14	14/12/14
5.2.5	Envío al consultor para revisión	5.2.4	4 horas	14/12/14	15/12/14
5.2.6	Correcciones de los errores detectados por el consultor	5.2.5	4 horas	15/12/14	17/12/14

5.2.7	Revisión ortográfica, varias lecturas, etc...	5.2.6	4 horas	17/12/14	18/12/14
5.2.8	Entrega de la memoria	5.2.7	0,5 horas	07/01/15	07/01/15
5.3	Video presentación del TFC				
5.3.1	Confección de la presentación en PowerPoint	5.2.7	5 horas	18/12/14	19/12/14
5.3.2	Grabación de la locución de la exposición	5.3.1	5 horas	19/12/14	21/12/14
5.3.3	Maquetado, edición y montaje del video	5.3.2	3 horas	21/12/14	22/12/14
5.3.4	Entrega del video presentación	5.2.8	0,5 horas	07/01/15	07/01/15
5.4	Ficheros, fuentes y anexos				
5.4.1	Recopilación de ficheros generados (src, pcb, simulación, etc...)	5.3.3	2 horas	22/12/14	23/12/14
5.4.2	Compresión de los ficheros	5.4.1	0,5 horas	23/12/14	23/12/14
5.4.3	Entrega del fichero comprimido	5.3.4	0,5 horas	07/01/15	07/01/15
6	Debate virtual				
6.1	Recopilación de las preguntas solicitadas desde el tribunal		2 horas	28/01/15	28/01/15
6.2	Redacción y contestación a las cuestiones solicitadas	6.1	3 horas	28/01/15	29/01/15
6.3	Enviar documento con respuestas	6.2	0 horas	29/01/15	29/01/15
7	Fin de TFC				
				29/01/15	
Total horas planificadas			316,5 horas		

2.6 Diagramas de Gantt

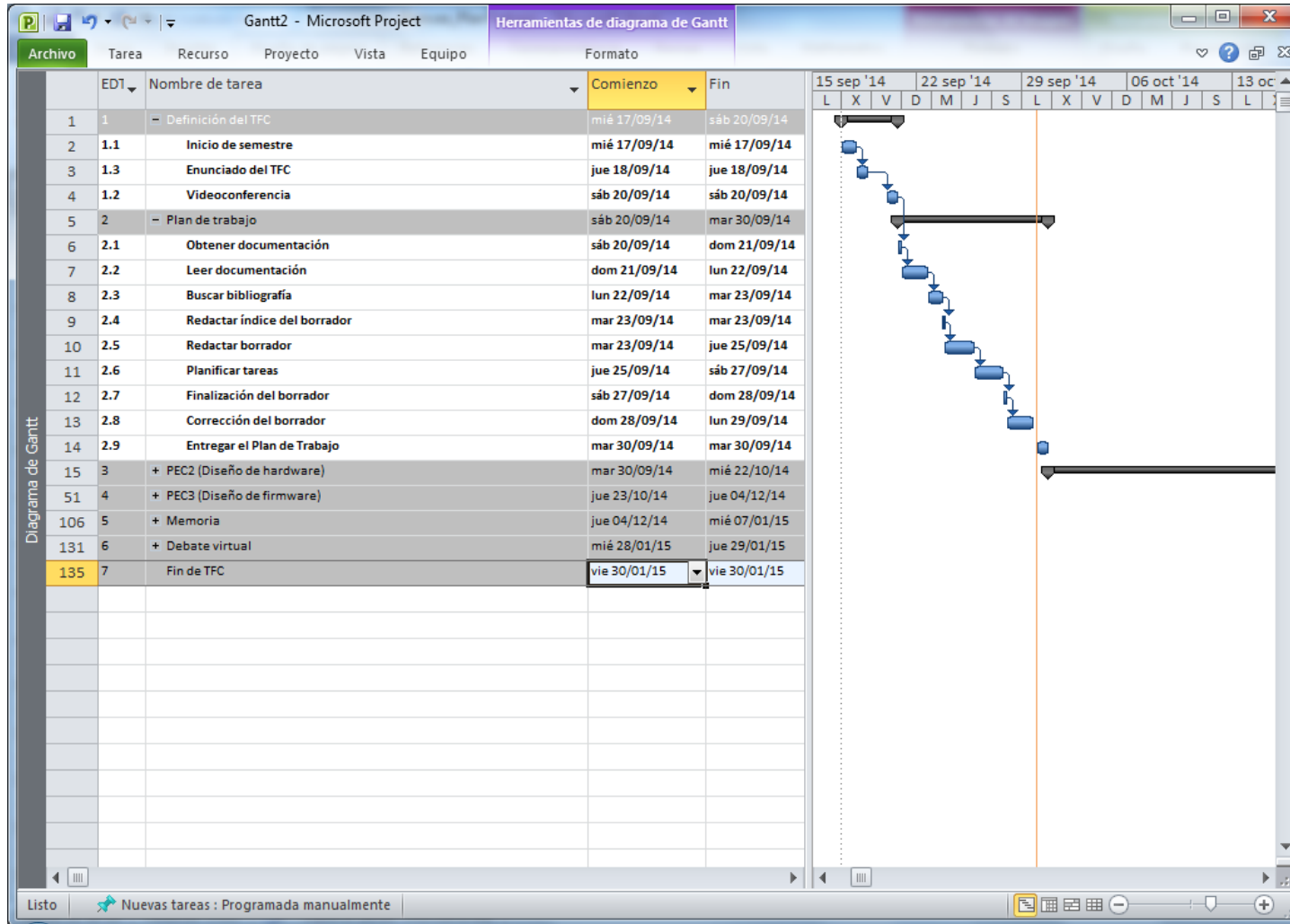


Ilustración 2 - Gantt plan de trabajo

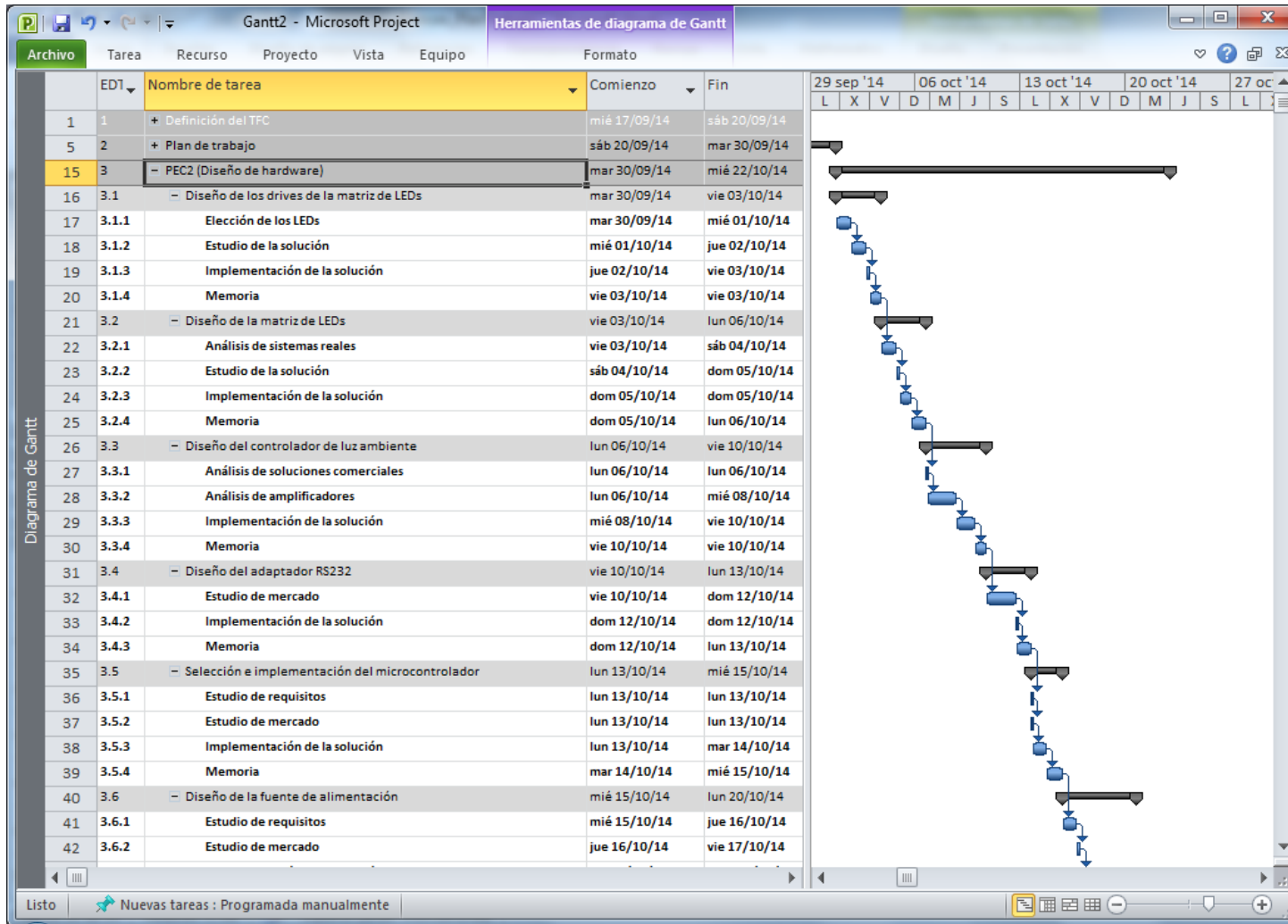


Ilustración 3 - Gantt PEC2 parte 1

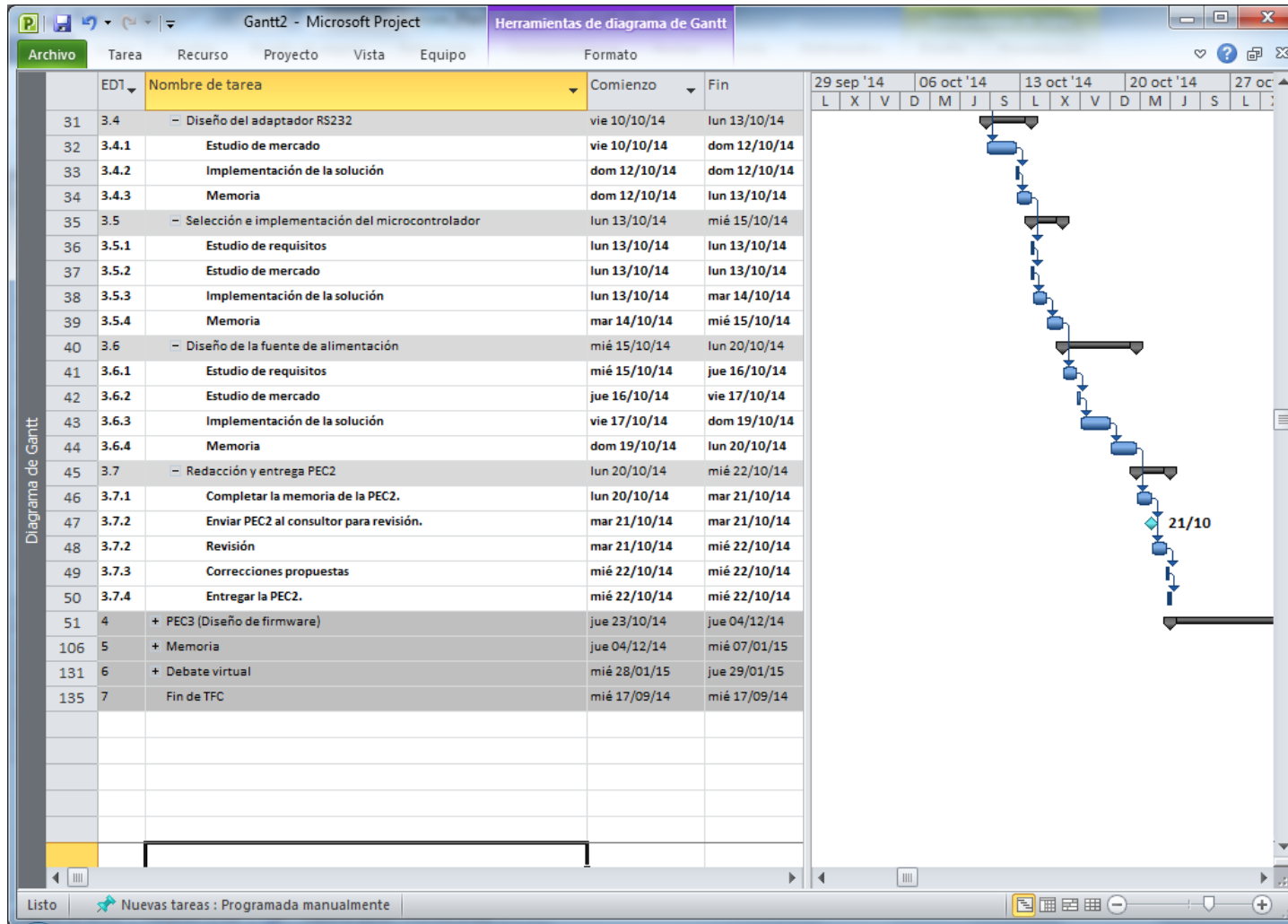


Ilustración 4 - Gantt PEC2 parte 2

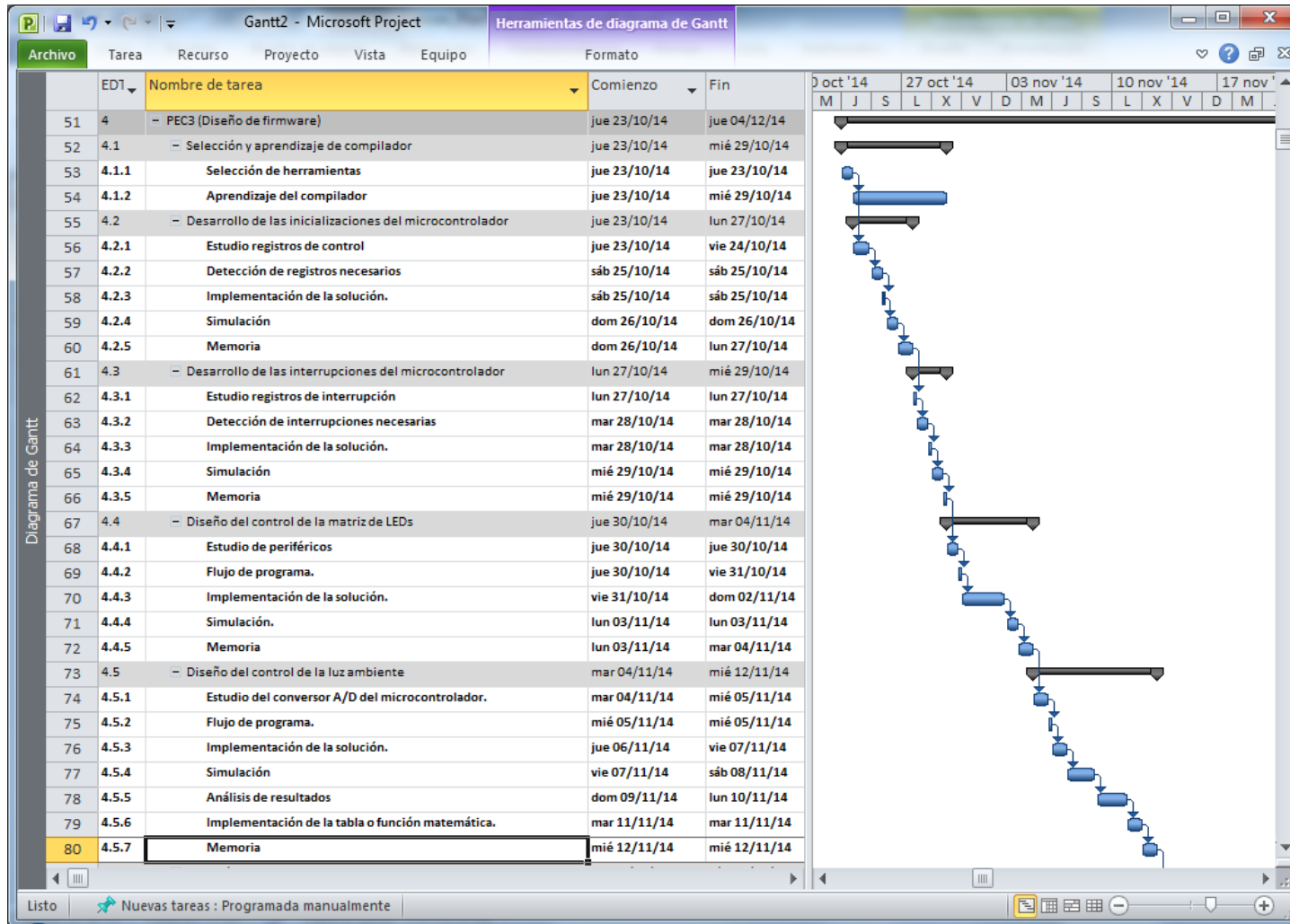


Ilustración 5 - Gantt PEC3 parte 1

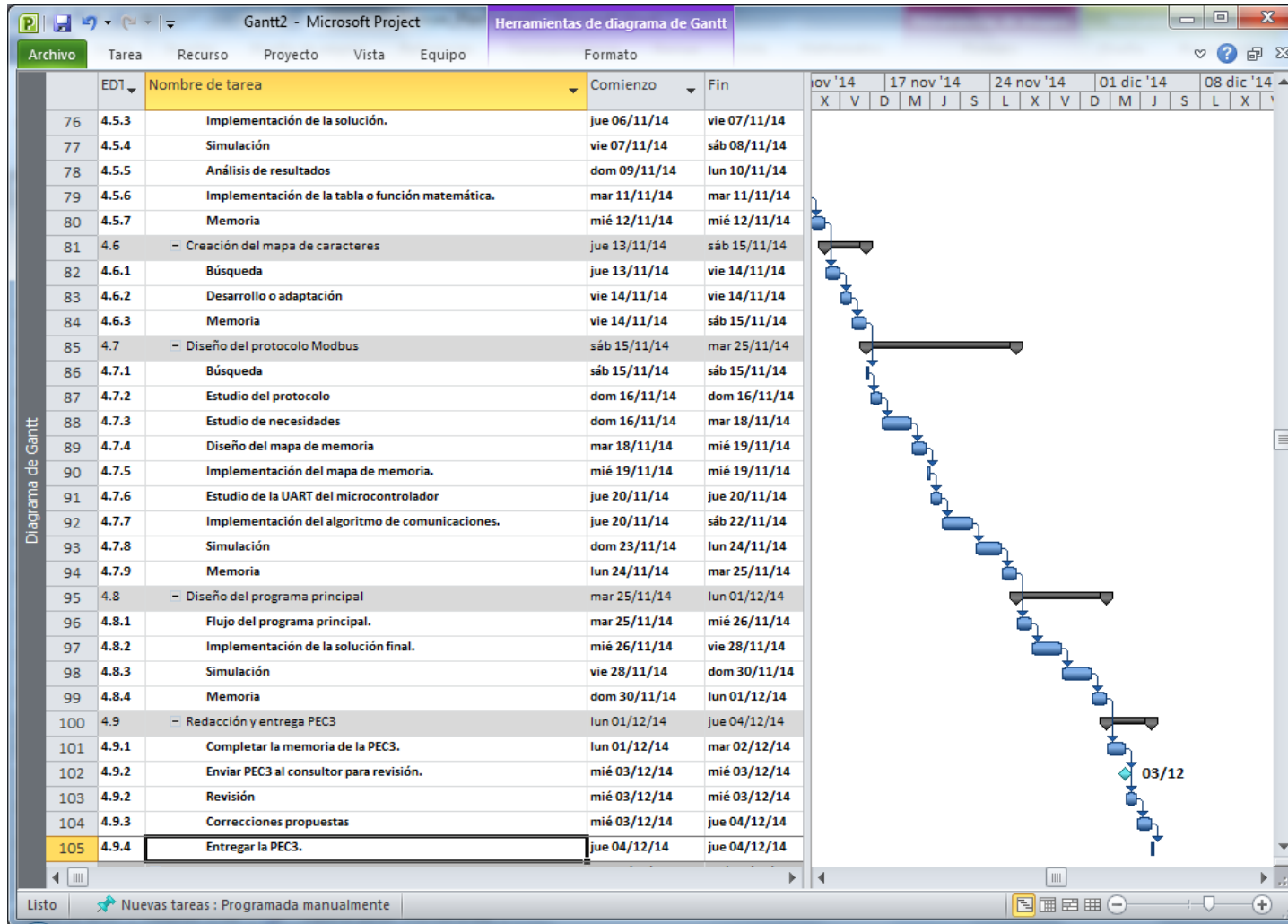


Ilustración 6 - Gantt PEC3 parte 2

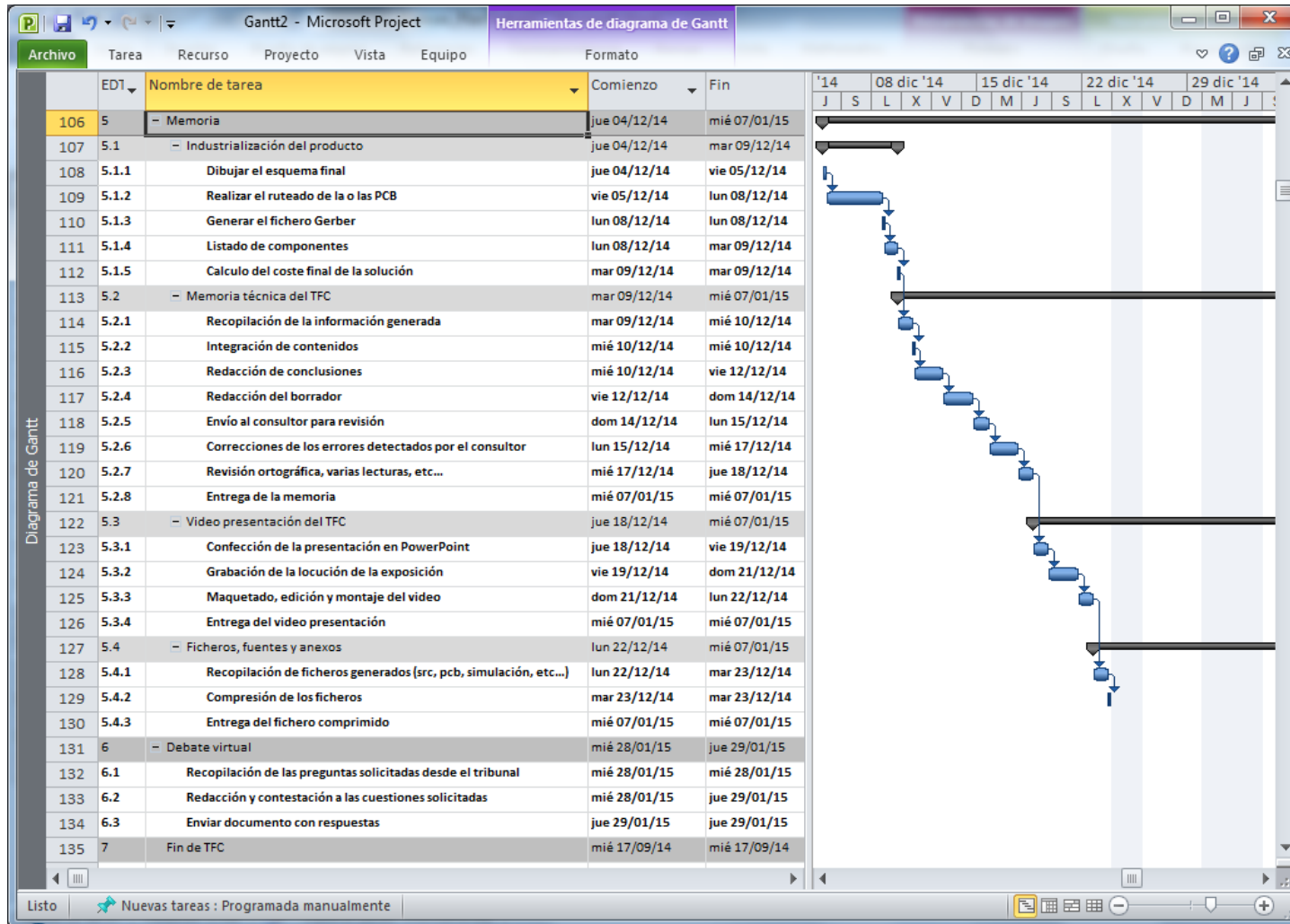


Ilustración 7 - Gantt memoria

3 Diseño de hardware

Como punto de partida del diseño del hardware, se quiere aclarar que el propósito es cumplir las especificaciones marcadas en el enunciado del TFC y además realizar una solución que tenga el menor coste posible.

3.1 Driver de la matriz de LEDs

Se considera driver de la matriz de LEDs a la parte hardware que proporcionara la potencia necesaria a los diodos LEDs.

3.1.1 Estudio de la etapa de potencia del LED

Tal y como se especifica en el enunciado se debe poder variar la potencia del LED en función de la intensidad lumínica que exista en el entorno del panel. Para conseguirlo es necesario modificar la corriente que pasa a través del LED. Existen varias técnicas para conseguirlo pero todas se basan en dos métodos: regular la tensión de alimentación o regular la intensidad.

El primer caso queda desestimado por la variación de la tensión directa del LED¹. Dentro de un mismo fabricante se indica que este parámetro es muy variable en la fabricación, por lo que si se utiliza el método de variación de tensión no se conseguirá que todos los LEDs tengan la misma corriente y por consiguiente luzcan con la misma intensidad.

La segunda técnica nombrada se basa en regular la intensidad del LED. Se consigue mediante una fuente de corriente y la variación de la tensión de la base del transistor. Se ha realizado una simulación con *PsPice* para mostrar el resultado. La simulación es un *DC-Sweep*² con una variación de V2 desde 0V hasta 5V.

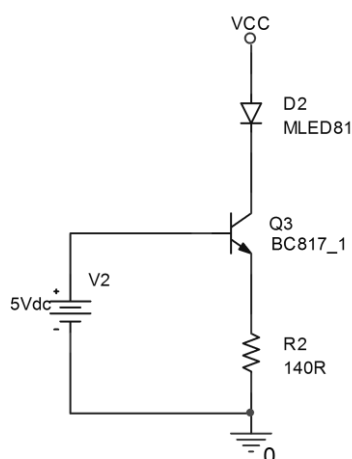


Ilustración 8 - Fuente de corriente

Para conseguir la variación de la tensión en la base del transistor se podrá utilizar una señal PWM (*Pulse Width Modulation*) con un filtro paso bajo basado en RC. Ahora se utiliza una fuente de tensión continua.

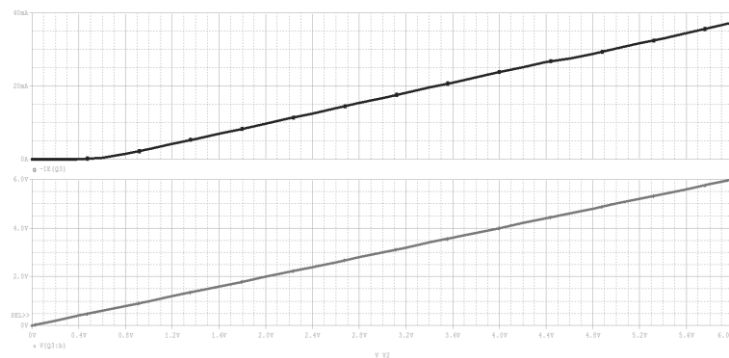


Ilustración 9 - Tensión de la base vs Intensidad LED

¹ Ver nota de aplicación de Osram, pagina 4: "[Behaviour of InGaN LEDs in Parallel Circuits](#)"

² *DC-Sweep* es un tipo de análisis en *PsPice*. Se trata de un barrido de tensión o corriente.

3.1.2 Selección del LED

La selección del LED depende en gran parte de la aplicación final.

Se ha especificado un panel de LEDs de 16x16 unidades y el tamaño será de aproximadamente 8x10 cm. Con estas medidas se da por sentado que el panel podrá ser observado desde una distancia corta. Por lo tanto, la intensidad lumínica que emitan los LEDs no deberá ser muy elevada.

Otro parámetro importante es que tiene que ser una solución energéticamente eficiente. Para lograrlo hay que seleccionar un LED de alto rendimiento y que tenga un consumo moderado o bajo.

Por último, hay que tener en cuenta que se dispone de un panel con 256 unidades y que para ser energéticamente eficientes no se pueden conectar todos los LEDs al mismo tiempo. De hecho, la solución óptima pasa por encender los LEDs de uno en uno. Teniendo en cuenta que la frecuencia mínima a la que el ojo humano es capaz de detectar variaciones son 50Hz o 20ms, y que durante ese tiempo se han de encender todos los LEDs en el peor de los casos, hay que buscar un LED que pueda aplicar el máximo pulso de corriente durante una pequeña fracción de tiempo para conseguir la máxima luminosidad del panel. Esa fracción de tiempo será el PWM permitido por el fabricante del LED a la máxima potencia.

El LED seleccionado es el modelo **LS T67K de Osram** en formato *PLCC2*. El fabricante lo recomienda en su *Datasheet*³ para aplicaciones de señalizado y paneles informativos. La corriente directa nominal es de 20mA y la máxima de 100mA. La tensión directa nominal es de 1,8V y la máxima de 2,2V. Las desviaciones de producción no afectaran en nuestro diseño.

En las siguientes ecuaciones se observa que cumple con nuestros requisitos de máxima intensidad y tiempos de refresco.

$$D_{esp} = \frac{1}{256} \cong 0.004$$

$$t_{p\ esp} = \frac{20ms}{256} \cong 70\mu s$$

$$D_{esp} < D$$

$$t_{p\ esp} < t_p$$

Max I_F Permitida = 0.10A

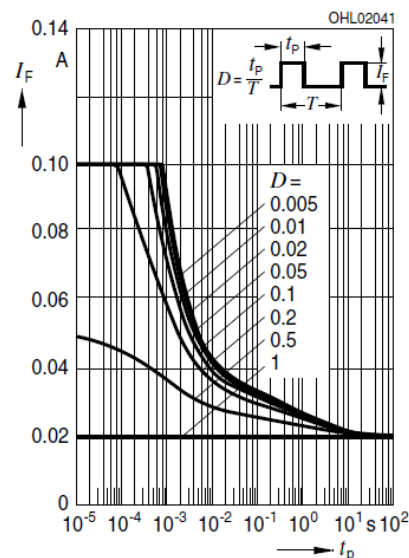


Ilustración 10 - Corriente directa vs T máx. ON

Queda por reseñar que es un LED estándar en el mercado y que varios fabricantes disponen de dispositivos con las mismas características como *Everlight* o *Wurth*.

³ Ver hoja de especificaciones del fabricante "[LS T67K – TOPLED](#)"

3.1.3 Solución del driver LED

Con la solución propuesta en el apartado 3.1.1 se encuentra el primer escoyo. Hay que inyectar una corriente por la base del transistor de 100mA para conseguir el efecto deseado. El problema no es aprovisionar de esta corriente, sino que desde el pin del microprocesador, que es por donde saldrá el *PWM*, no podemos proveer esa corriente. Para conseguirlo se montará el transistor en la configuración emisor común. Mediante esta configuración se conseguirá generar una alta corriente de colector inyectando una muy baja en la base del transistor.

El transistor que se montará en modo emisor común será el **BC817**⁴ del fabricante *NXP*. Su formato de montaje es *SOT23* en *SMD*. Este transistor tiene un corriente de colector de 500mA y una corriente de pico máxima en la base de 200mA. Con estos parámetros cumple los requisitos necesarios sin estar sobredimensionado.

Para que la configuración en emisor común sea eficiente y la corriente de base sea pequeña, debemos alimentar el ramal del *LED* con una tensión constante y que tenga un suministro de corriente fiable. Alimentamos con 5V. Después se verá la parte de la fuente de alimentación.

Los cálculos del circuito son los siguientes:

$$V_{R1} = V_{in} - V_{fD1} - V_{ce Q1} = 5V - 2,2V - 0,2V = 2,6V$$

$$R1 = \frac{V_{R1}}{I_{cmax} Q1} = \frac{2,6V}{0,1A} = 26\Omega \approx 25\Omega^5$$

Se ha aplicado una corriente máxima de colector Q1 de 100mA para conseguir máxima corriente necesaria en el *LED*.

Para el cálculo de la resistencia de base se ha obtenido la β^6 del transistor en las condiciones deseadas para aplicar al *LED* la máxima potencia. Tiene un valor de 100 con $I_c=100mA$ $V_{BE}=1V$. Estos valores se han obtenido de la hoja de especificaciones del transistor.

$$I_{bQ1} = \frac{I_{cQ1}}{\beta} = \frac{0,1A}{100} = 0,001A$$

$$R2 = \frac{V_{maxPWM} - V_{BE}}{I_{bQ1}} = \frac{5V - 1V}{0,001A} = 4000\Omega \approx 3K9\Omega^7$$

Como se puede apreciar en los cálculos, la corriente de base del transistor necesaria para generar los 100mA necesarios será muy baja y permitirá montar cualquier circuito de control para realizar activaciones del *LED*.

Con todos los valores obtenidos se ha dibujado la solución final del driver *LED* y se ha realizado una simulación mediante un barrido de tensión en *PSPice* aplicando de 0V a 5V en la base del transistor.

⁴ Ver hoja de especificaciones del fabricante "[BC817 Datasheet](#)"

⁵ R1 será de 25 ohmios para normalizar al estándar del mercado.

⁶ Es la *beta* del transistor. Se trata de la ganancia que existe entre corriente de base y corriente de colector.

⁷ R1 será de 3K9 ohmios para normalizar al estándar del mercado.

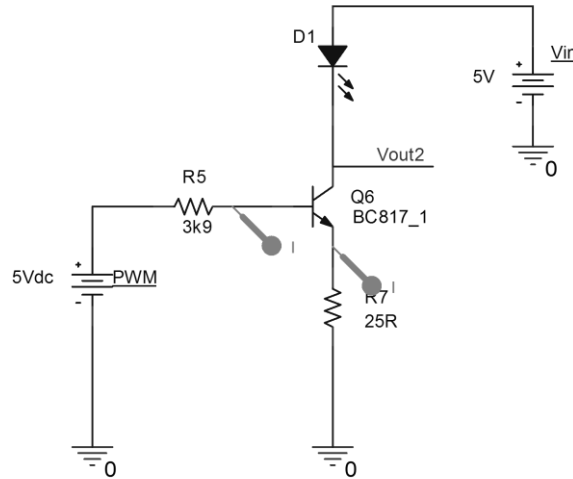


Ilustración 11 - Driver del LED

A continuación la simulación realizada en *PsPice*:

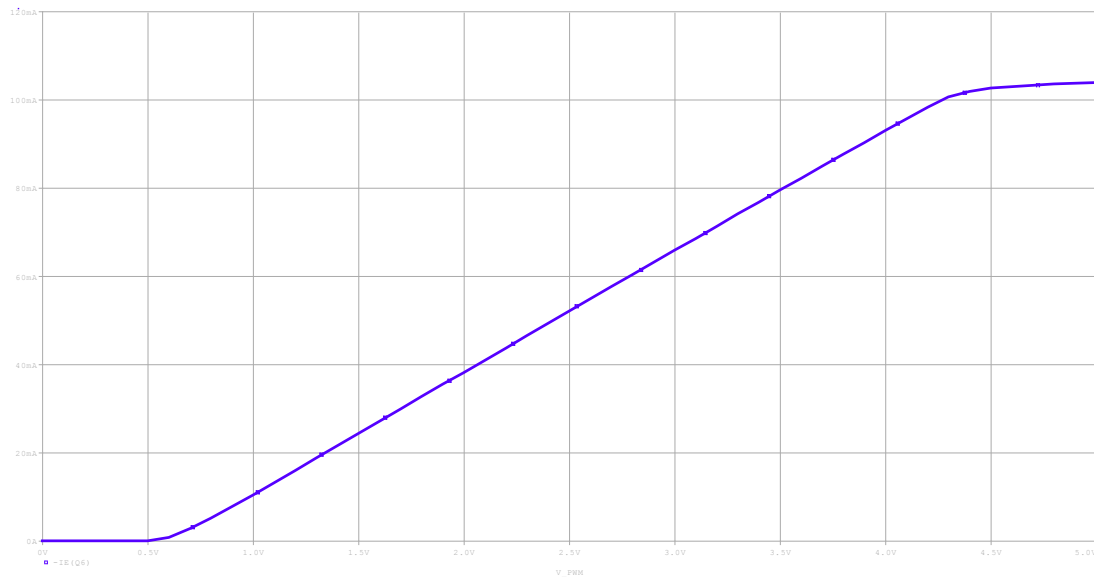


Ilustración 12 – Simulación *PsPice*. Tensión base Q1 vs Ic Q1

Como conclusión de la simulación y diseño del driver tenemos los siguientes valores para el circuito:

Máxima I_c Q1	R1	Q1	R2
100mA	25Ω 1206 1/4W	BC817 SOT23	3k9Ω 1206 1/4W

3.2 Control de la matriz de LEDs

Se considera control de la matriz de LEDs a la parte hardware que activara o desactivara los LEDs.

3.2.1 Estudio de soluciones

En el mercado existen distintas soluciones para manejar una cantidad determinada de LEDs. La mayoría de ellas están basadas en *chips*⁸ que controlan tanto la activación y desactivación de los LEDs, como la potencia que se les debe aplicar. El manejo de estos *chips* se realiza mediante un bus de comunicaciones I2C o SPI.

Para el TFC, en vez de utilizar estos *chips*, se ha tomado la determinación de diseñar un circuito de características similares a los que existen y que cubra todos los requisitos especificados. El reto que se ha planteado es que para realizar el control del panel solamente se utilicen cuatro señales: *Clock_Counter*, *Reset_Counter*, *Data_Counter* y *PWM_Led*.

3.2.2 Desarrollo de la solución

Para lograr el objetivo marcado, el panel de 16x16 LEDs quedará dividido en 16 señales de activación de filas y 16 señales de activación de columnas. Cada fila se activara de manera única y cada columna también. De este modo siempre existirá una única fila activada y una única columna activada. Es decir, solamente se podrá activar un LED de manera simultánea. Este circuito se desarrollara mediante contadores decimales.

El ciclo de paso por cada fila se realizara mediante una señal de *clock* y cada ciclo será de 70µs. Se procesaran 16 ciclos de *clock* y se habrán recorrido las 16 filas. El ciclo de paso por cada columna será mediante el procesado de las 16 filas. Es decir, cada 16 filas avanzaremos una columna que será el equivalente a 1,120ms. Para controlar las columnas se utilizara un transistor PNP y hará las funciones de un interruptor conectando a 5V. Para controlar las filas, como se ha mencionado en el capítulo anterior utilizaremos un transistor NPN en configuración emisor común, y además colocaremos un *switch* analógico (CD4066⁹) para dejar pasar la señal de PWM o no.

Se ha dibujado la solución para un único LED y se ha realizado una simulación en PsPice. En la simulación se ha introducido un *clock* en el pin *dato* para que cada 20µs se realice una activación y desactivación del valor de PWM que se desea escribir. Además se ha introducido otro *clock* por las conexiones de fila y columna simulando una activación del LED.

En la simulación se ha observado que el circuito funciona correctamente y que consigue entregar la corriente necesaria para que el LED trabaje a su máxima potencia. Además se muestra que los circuitos de activación y desactivación de las filas, columnas y el dato funcionan correctamente y que los tiempos de respuesta de los transistores son adecuados.

A continuación las imágenes del circuito eléctrico con la solución final y la simulación en PsPice con los resultados obtenidos.

⁸ Ver ejemplo de *chip*: "[Driver Leds SP-DM13H](#)"

⁹ Ver hoja de especificaciones del fabricante "[CD4066](#)"

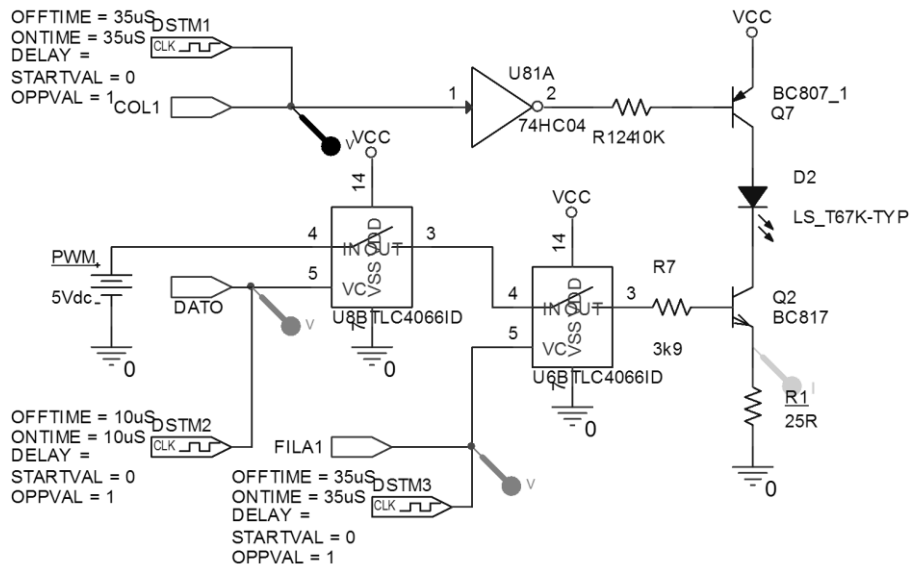


Ilustración 13 - Ejemplo de manejo del driver de un LED

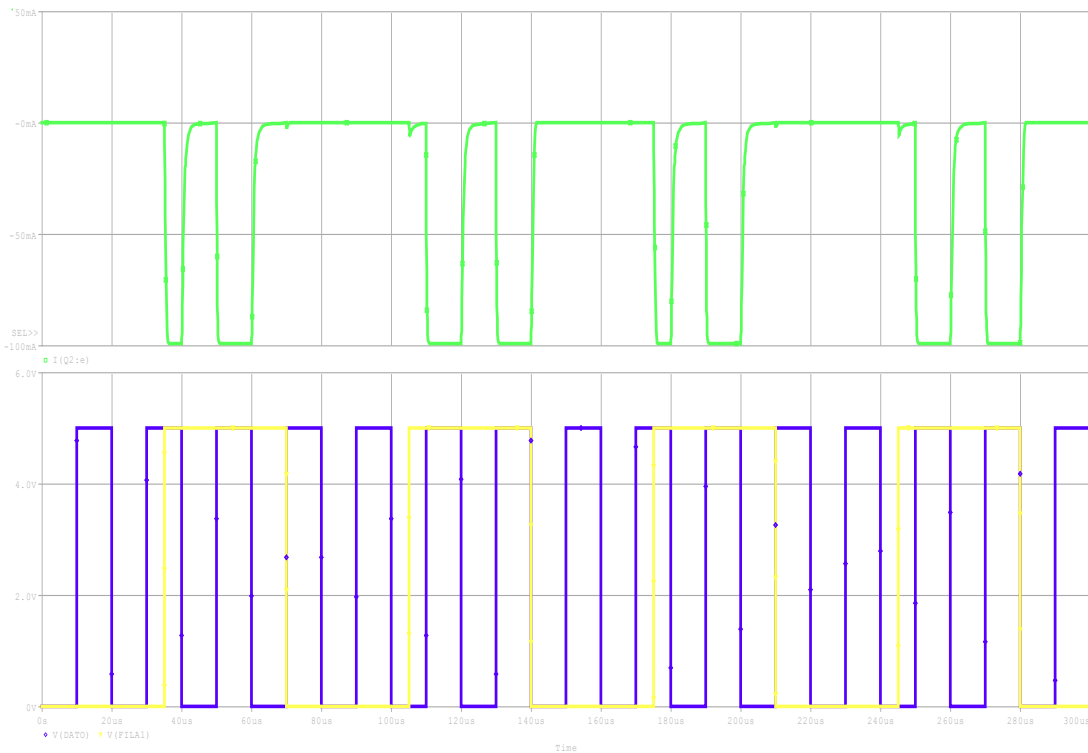


Ilustración 14 - Simulación PsPice del driver. Activaciones vs Corriente del LED

En la anterior simulación se demuestra que como el sistema es capaz de realizar la regulación de la corriente a la vez que se va activando y desactivando el led. Se han introducido varias señales de *clock* que son asíncronas para que se vaya activando y desactivando en distintos periodos de tiempo el led. En la señal superior se muestra la corriente del led y en las inferiores las señales de activación.

3 - Diseño de hardware

El diseño del circuito de activación de las filas y las columnas se realizara mediante una señal de *Clock_Counter*, *Reset_Counter* y cuatro circuitos contadores decimales (**CD4017B**¹⁰). En la figura 15 se puede observar como quedara el diseño:

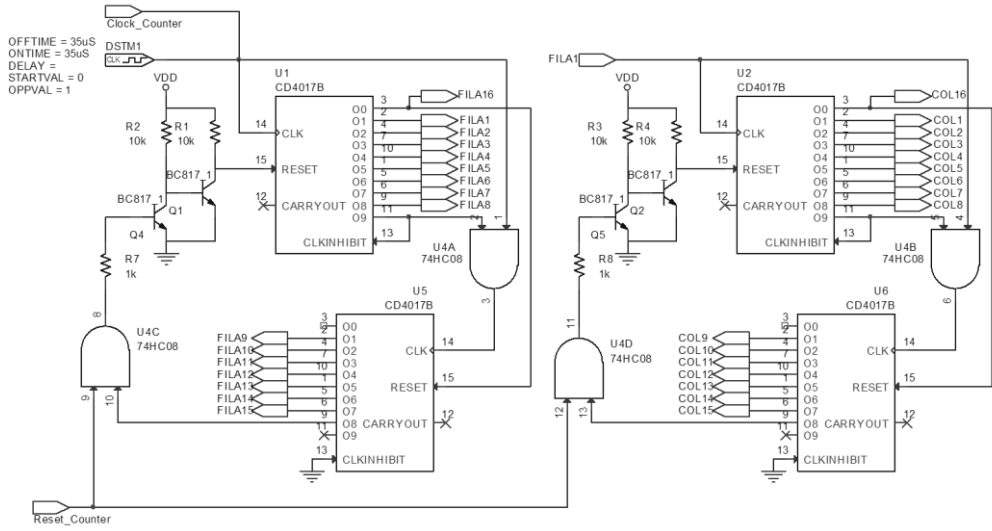


Ilustración 15 – Circuito de contadores para activación filas y columnas

Para la siguiente simulación realizada en *PSPice* se ha colocado un *clock* de aproximadamente 14KHz.

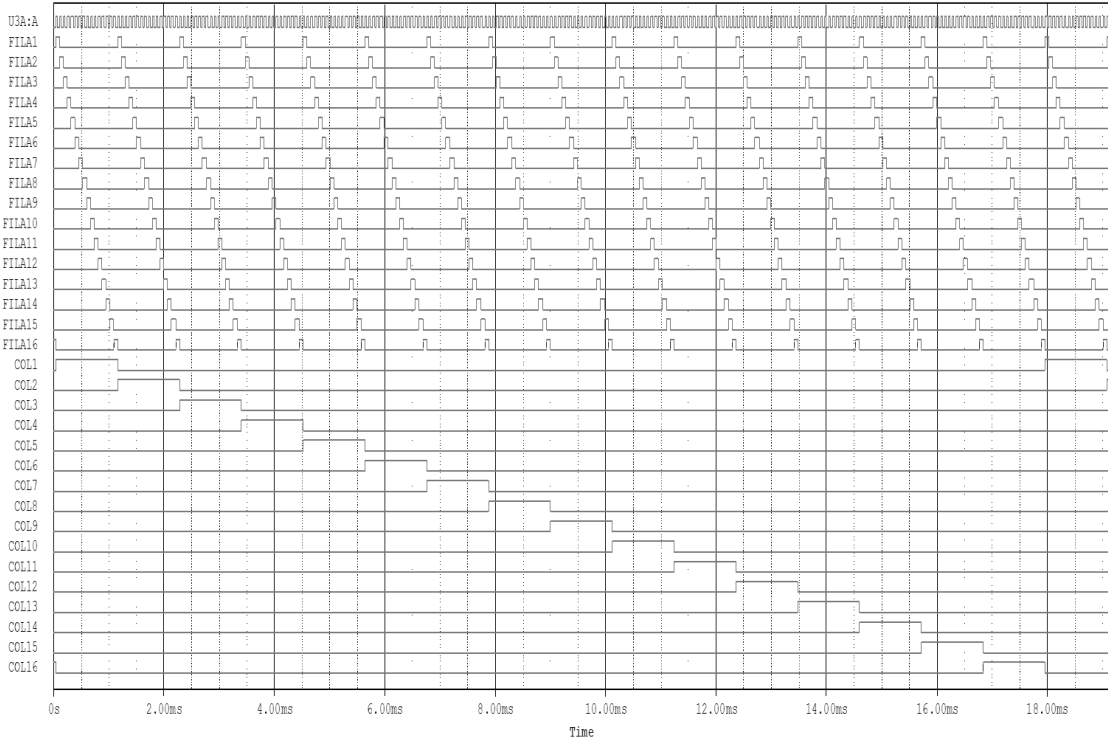


Ilustración 16 – Simulación PsPice. Activación de filas y columnas

El circuito de control de la matriz de *LEDs* quedaría como en la siguiente imagen:

¹⁰ Ver hoja de especificaciones del fabricante "[CD4017B](#)"

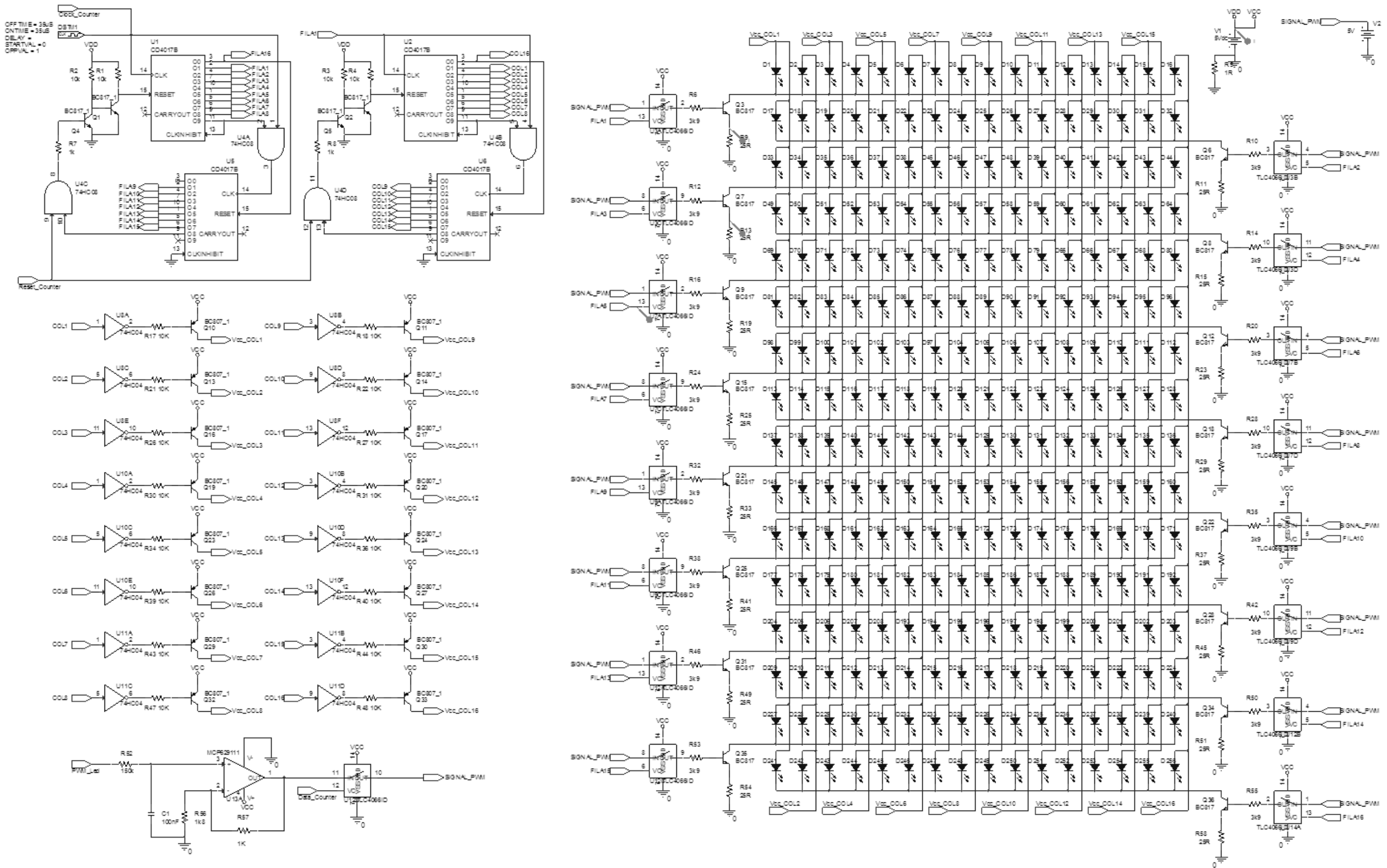


Ilustración 17 - Esquema eléctrico de la matriz y control de 16x16 LEDs

A continuación se muestran dos simulaciones en *Pspice* del circuito anterior. Se muestra la corriente en dos *LEDs* y la suministrada por la fuente de alimentación.

La primera aplicando un *PWM* máximo (5V):

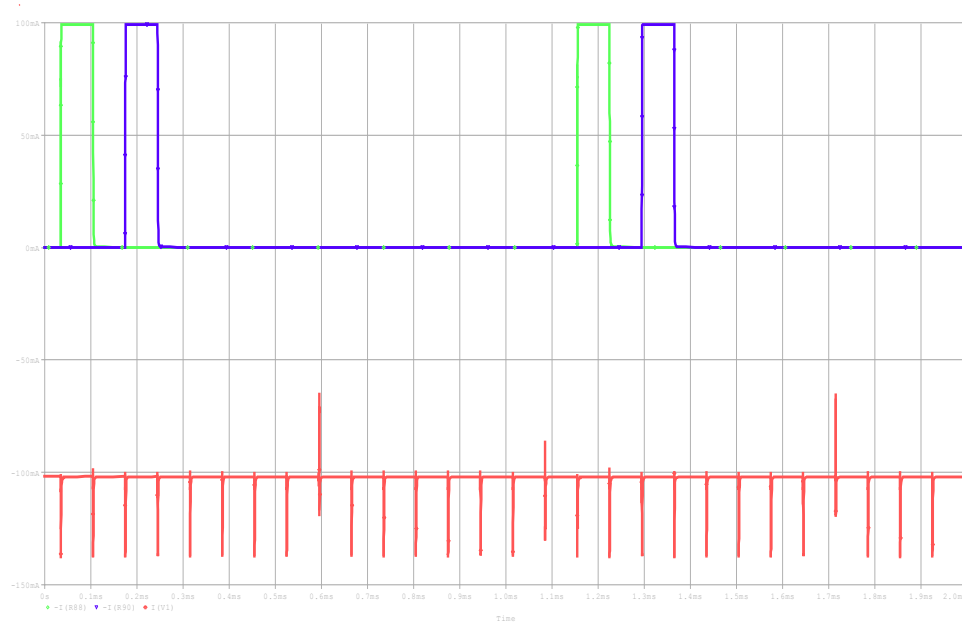


Ilustración 18 - Simulación *Pspice*. PWM aplicado a la matriz de 5V.

La segunda aplicando un *PWM* medio (2.5V):

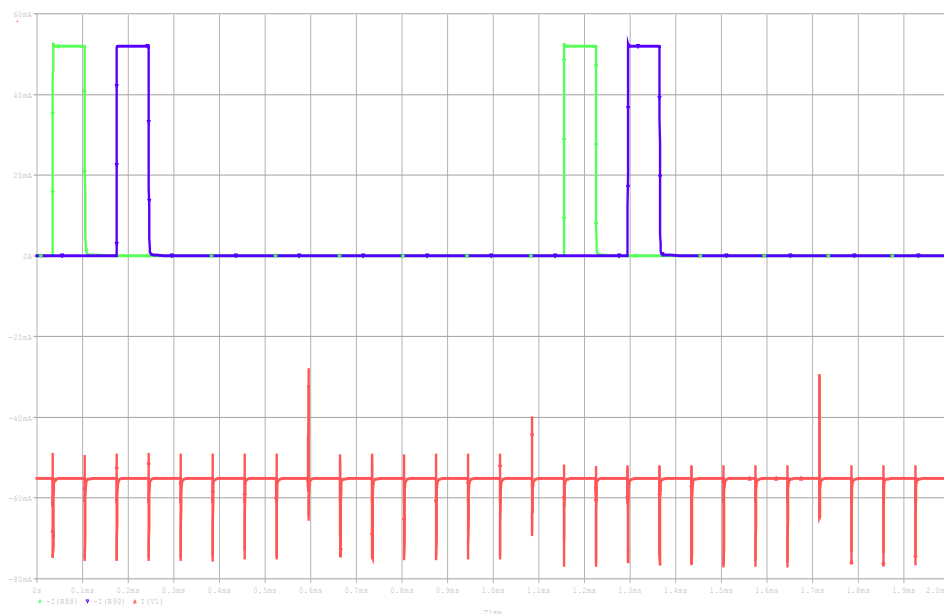


Ilustración 19 - Simulación *Pspice*. PWM aplicado a la matriz de 2,5V.

Se puede observar que el circuito regula la corriente perfectamente y realiza las activaciones. Además se puede observar el consumo del circuito cuando todos los *LEDs* están activados. Los pulsos de corriente que aparecen en la simulación se deben a los tiempos de conmutación de las puertas y los transistores de activación.

3.3 Control de corriente del led

Para realizar el control de corriente del led, y tal y como se ha explicado anteriormente, se aplicara una señal de *PWM* mediante la cual regularemos la corriente.

El microcontrolador tendrá un nivel de salida de 3,3V por lo que será necesario amplificar la tensión de salida hasta los 5V. Para conseguirlo se montara en primer lugar un filtro RC que convertirá la señal *PWM* en CC y después se colocara un amplificador no inversor con la ganancia necesaria.

Para los circuitos amplificadores no inversores la ganancia viene determinada por la siguiente ecuación:

$$V_o = V_i \left(1 + \frac{R_3}{R_2}\right)$$

Como en el sistema necesitamos pasa de 3,3V a 5V necesitamos una ganancia de aproximadamente 1,5. Por lo tanto podemos montar $R_3 = 1k$ y $R_2 = 1k8$. De este modo nos quedara una ganancia de 1,55.

El circuito quedara de la siguiente manera:

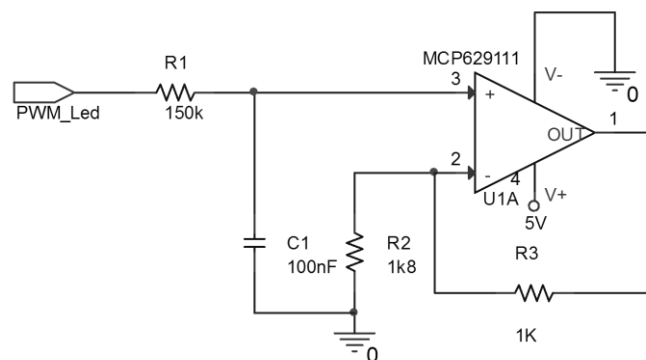


Ilustración 20 - Filtro *PWM* y adaptador de 3,3V a 5V

3.4 Sensor de luz

Existen diversos fabricantes que desarrollan soluciones finales para medir tanto propiedades como valores absolutos relacionados con la luz. En concreto, se puede medir el color de la luz, la cantidad de luz, la calidad, etc... Estas soluciones están formadas por varios bloques:

- Fotodiodo o diodo *pin*: es el sensor en cuestión que transforma la intensidad de la luz en corriente.
- Etapa de amplificación: se trata de un amplificador de transconductancia que transforma la corriente en tensión.
- Conversor A/D: transforma la tensión en una palabra binaria para poder ser tratada.
- Comunicaciones: mediante un bus *SPI* o *I2C* y unos comandos definidos por el fabricante se pueden extraer las medidas realizadas por los bloques anteriores.

En el desarrollo se ha creído interesante realizar un desarrollo completo de la solución. Como es lógico, no se abordaran todos los bloques mencionados ya que al disponer de un microcontrolador se dispone del conversor y el módulo de comunicaciones.

3.4.1 Selección del sensor

El sensor para realizar la medición de la luz ambiente tiene que ser sensible tanto a niveles de luz muy pequeños, como a la iluminación de un sistema artificial como un fluorescente o la luz solar. El problema es que la caracterización de este sensor pasaría por una función logarítmica, ya que la luz del sol es mucho más superior que la de cualquier sistema artificial y los sensores son todos lineales.

Otro aspecto importante es la longitud de onda a la que reacciona el sensor. No resulta interesante que reaccione fuera del espectro visible, ya que de ser así no estaríamos midiendo condiciones de luz reales. Por estos motivos se ha elegido el diodo pin **ALS-PD70-01C/TR7**¹¹ del fabricante *Everlight*. Las características principales del sensor son:

- Corriente en oscuridad (0 Lux): 2nA.
- Corriente en iluminación (1000 Lux): 12μA.
- Rango de longitud de onda (λ): 390nm a 700nm.

En la siguiente grafica adjunta se puede observar la respuesta en corriente a la luz ambiente:

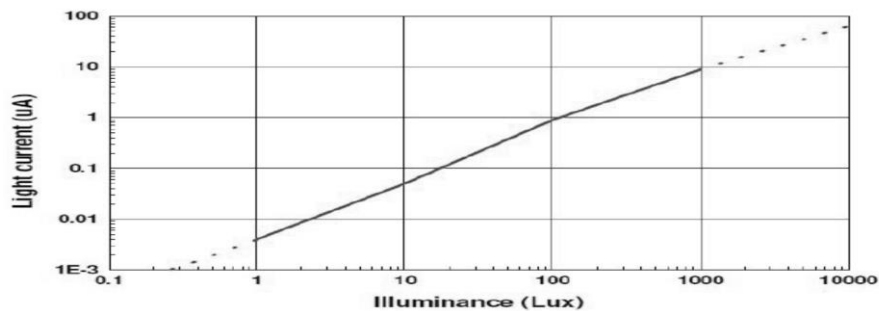


Ilustración 21 - Corriente vs Iluminación

Cumple perfectamente con los requisitos marcados anteriormente.

3.4.2 Diseño del amplificador

La función del amplificador será transformar la corriente generada por el sensor en tensión, para que el conversor A/D del microcontrolador lo pueda transformar en datos. Para esta labor existe el modelo del amplificador de transconductancia. Como ya se ha mencionado, transforma la corriente en sus entradas en tensión.

Antes de realizar el diseño, hay que seleccionar el amplificador operacional. Para este propósito hay que tener en cuenta distintos parámetros del fabricante:

- Se van a medir pequeñas variaciones de corriente a la entrada del amplificador, por lo cual deberá tener *low bias input current*. Es un parámetro especificado por los fabricantes que determina los valores mínimos de variación en la entrada.

¹¹ Ver hoja de especificaciones del ["ALS-PD70-01C/TR7"](#)

- Para aprovechar al máximo la capacidad de amplificación del sistema deberá ser *rail-to-rail*. Significa que es capaz de sacar hasta el nivel de alimentación. Normalmente los amplificadores operacionales tienen pérdidas (*Drop-down*).

Todos estos parámetros los cumple el amplificador operacional **MCP6291**¹² de *Microchip*. Esta especialmente diseñado para aplicaciones con fotodiodos.

La tensión de alimentación del amplificador será de 3,3V, la misma que la del convertor ADC del microcontrolador, por lo que será deseable que el nivel de saturación sea de 3,3V. En el apartado de selección del sensor se ha especificado que la corriente generada por un fluorescente era de 12μA, pero en el diseño se realizara un cálculo con hasta 20μA para no fijar la mínima iluminación de los *LEDs* en el nivel de un fluorescente. Esta corriente es equivalente a aproximadamente 2000 Lux. Para realizar el cálculo de los componentes del amplificador nos basamos en:

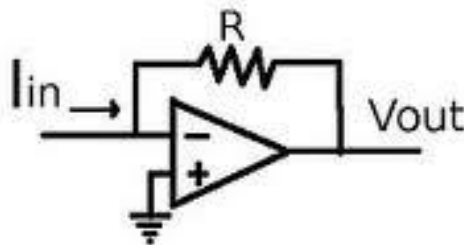


Ilustración 22 - Modelo amplificador transconductancia

$$V_{out} = R \cdot I_{in}$$

$$R = \frac{V_{out}}{I_{in}} = \frac{3,3V}{20\mu A} = 165K$$

A continuación se muestra una simulación en *PsPice*. Se trata de un barrido en corriente, desde el valor mínimo fijado hasta el máximo (20μA).

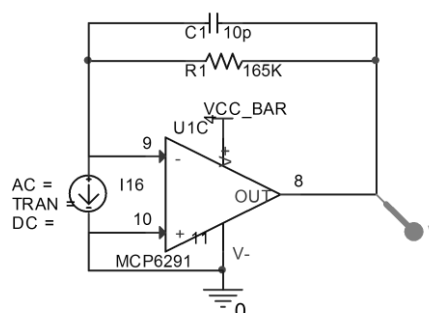


Ilustración 23 – Esquema eléctrico amplificador transconductancia

¹² Ver hoja de especificaciones de "[MCP6291](#)"

En la imagen se muestra como se ha sustituido el diodo pin o sensor por una fuente de corriente de *PsPice*. También se ha incluido un condensador para eliminar ruidos de la señal de salida.

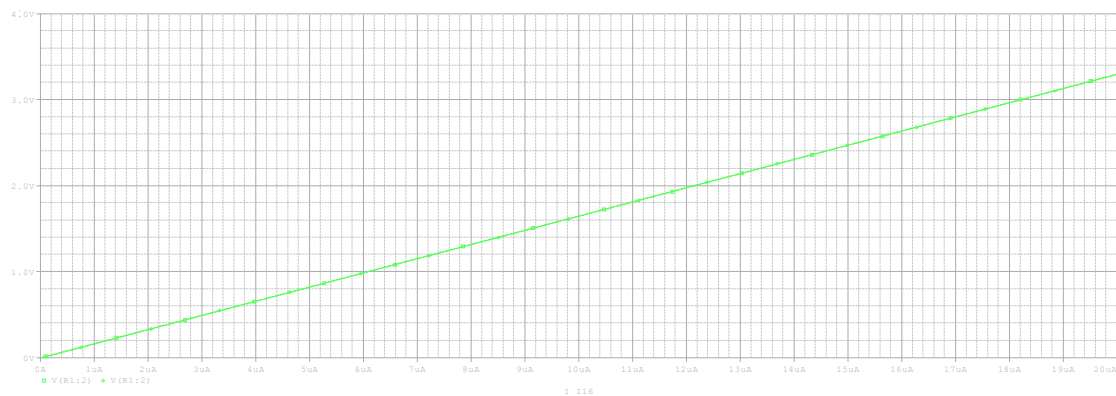


Ilustración 24 – Simulación PsPice. Corriente vs Tensión de salida

Tras realizar la simulación y observar los resultados se puede afirmar que el sistema está trabajando correctamente. Se observa como con la corriente máxima se obtienen a la salida del amplificador los 3,3V deseados.

3.5 Adaptación de señales RS232

En este apartado hay que buscar una solución a la incompatibilidad que existe entre los niveles de tensión proporcionados por el PC para el RS232 y los niveles necesarios para el buen funcionamiento de la UART del microcontrolador. También hay que analizar el tipo de conexión física que existe en los aparatos estándar y adaptarlo al diseño mediante un cable o interface.

3.5.1 Análisis de la capa física RS232

RS232 es un estándar en comunicaciones. Existen distintas tipologías de conexión respecto al conector y el cable que une los dos elementos que se desean comunicar.

El más utilizado en la actualidad es el DB-9. Lo utilizan tanto los equipos como los adaptadores de USB-RS232. Por este motivo, seleccionaremos el DB-9 como la conexión del diseño e incluiremos una referencia del cable de unión entre master y esclavo en el listado final de componentes y en el precio de la solución definitiva.



Ilustración 25 - Cable conexión RS232 DB9-DB9



Ilustración 26 - Cable conexión RS232 USB-DB9

3.5.2 Desarrollo del adaptador RS232

RS232 proporciona señales referenciadas a masa. Estas señales están comprendidas entre +3V/+15V y -3V/-15V. Los microprocesadores no llevan incorporada ninguna tecnología que

3 - Diseño de hardware

sea capaz de trabajar con estos niveles de tensión por lo que hay que realizar una adaptación mediante un *chip*. Se ha elegido el *chip* **MAX3232**¹³ de *Texas Instruments*, que es capaz de trabajar con un diferencial de 30V y salidas de 3,3V.

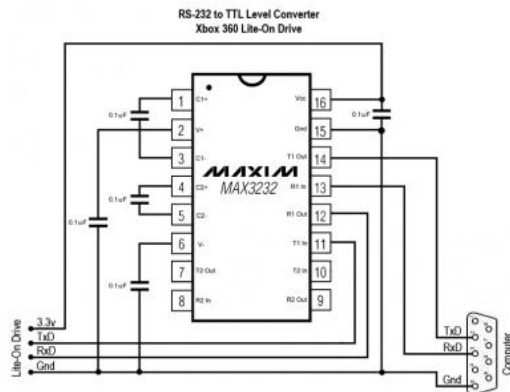


Ilustración 27 - Esquema eléctrico adaptación RS232

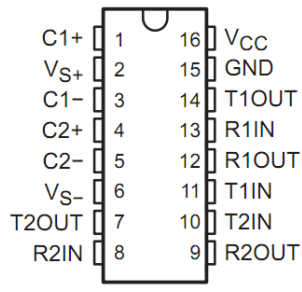
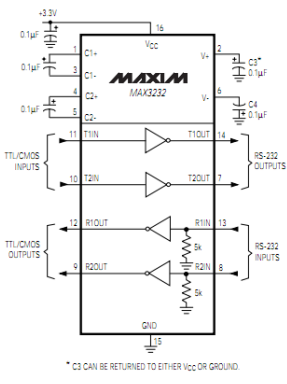


Ilustración 28 - Pin out MAX3232



3.6 Microprocesador

En primer lugar, y para poder seleccionar el microprocesador, hay que especificar las necesidades y requisitos que debe cumplir. Gran parte de ellos viene determinados por las condiciones del proyecto, y otros en previsión de futuras ampliaciones y un correcto funcionamiento del sistema.

3.6.1 Requisitos que debe cumplir

El microprocesador deberá implementar los siguientes periféricos:

- *PWM*: deberá tener al menos un pin de salida que implemente el *PWM* para poder controlar la potencia que se le asigna al diodo *LED*.
- Conversor *A/D*: por lo menos un canal con una resolución de 10 *bits* reales para poder evaluar la señal obtenida por el sensor de luz.
- *UART*: un puerto serie para comunicarse con el master y que pueda ir a una velocidad de hasta 100kbps.
- Entradas/Salidas: por lo menos deberá contar con 3 pines dedicados a funciones de *I/O* y que serán utilizados como *Clock_Counter*, *Reset_Counter* y *Data_Counter*.
- 1024 bytes de memoria *RAM* y al menos 16kB de memoria *FLASH* para el programa.

Las funciones descritas en el apartado anterior son las necesarias para cumplir con las especificaciones del TFC. Solamente queda definir la tensión de trabajo del microcontrolador.

Lo lógico sería dotar a todo el sistema con una única fuente de alimentación y que todos los dispositivos estuvieran alimentados a la misma tensión. La alimentación de los *LEDs* debe ser 5V para sacar el máximo rendimiento al sistema, por lo que el microcontrolador también estará alimentado a esa tensión.

¹³ Ver hoja de especificaciones del fabricante "[MAX3232](#)"

3.6.2 Selección del microcontrolador

Existen diversas familias de microcontroladores que cumplen los requisitos mencionados en el apartado anterior. En nuestro caso, estamos familiarizados con los *ARM Kinetis* de *Freescale*. En concreto con la familia *Cortex M0+*. Las principales características de estos microcontroladores son bajo precio, alta velocidad y variedad de periféricos.

Para el TFC se ha pensado en el microcontrolador **MKL25Z128VLK4**¹⁴. Tiene un precio de 0.90€ que es muy apropiado para la solución. El encapsulado es LQFP 60. Uno de los motivos principales por los que se ha seleccionado este microcontrolador es que tiene una plataforma hardware de desarrollo y *debug* que es asequible a cualquiera.

Además tiene las siguientes características:

- 128KB de memoria Flash para las rutinas del programa.
- 32KB de memoria RAM para las variables del programa.
- 3 *UART* de hasta 5Mbps.
- 1 canal *ADC SAR* (aproximaciones sucesivas) de 12 bits con hasta dieciséis entradas.
- Hasta ocho salidas *PWM*.
- Hasta 60 pines configurables como entrada y salida.
- Hasta 8 pines de entrada capaces de generar interrupción ante cambios y transiciones.
- Velocidad de 48MHz.
- Tensión de trabajo desde 2,7V hasta 3,3V.
- Modos de trabajo de bajo consumo.
- *Watchdog* o controlador de pérdidas en la ejecución del código.

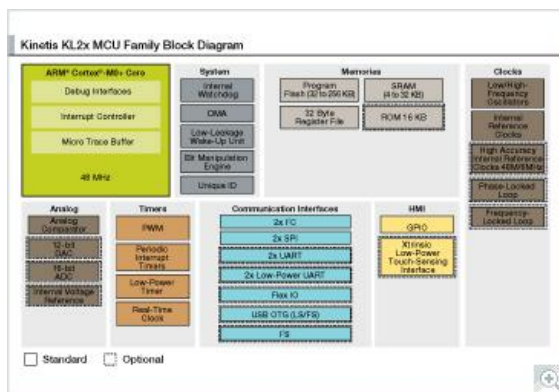


Ilustración 29 - Esquema de bloques del microcontrolador MKL25Z128

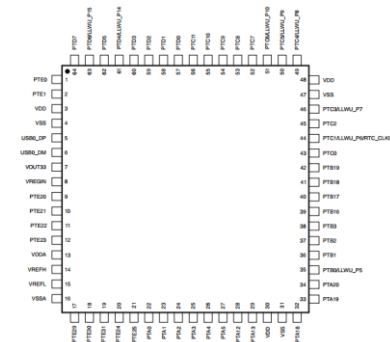


Ilustración 30 - Encapsulado y pines de MKL25Z128

3.6.3 Desarrollo del microcontrolador

Para realizar el desarrollo del apartado dedicado al microprocesador se dispone de todas las variables necesarias. El bloque del microcontrolador quedaría de la siguiente manera:

¹⁴ Ver hoja de especificaciones de "[MKL25Z128VLK4](#)"

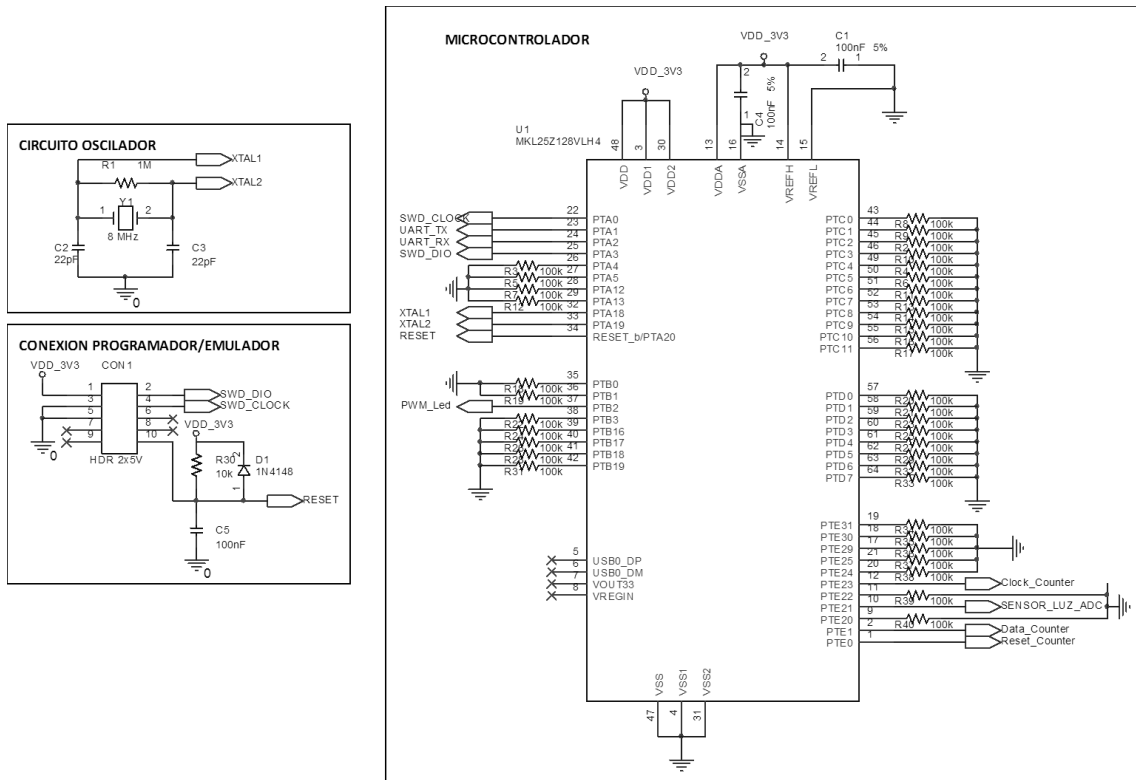


Ilustración 31 - Esquema eléctrico microcontrolador

En la anterior figura se puede observar que se ha colocado un cristal de 8MHz para proporcionar *clock* al microcontrolador. También se han adaptado las señales no utilizadas del microcontrolador mediante *pull-down*. Por último se ha añadido el conector y los componentes necesarios para grabar la *Flash* y poder emular el código fuente.

3.7 Fuente de alimentación

En este apartado se debe construir la fuente de alimentación que convierta la tensión de entrada (24V) a la tensión necesaria en nuestros circuitos. Como ya se ha comentado anteriormente esta tensión será de 5V para todos los circuitos del TFC y de 3,3V para el microcontrolador.

3.7.1 Análisis de los tipos de fuentes de alimentación

Existen distintos tipos de fuentes de alimentación.

- Cuando el consumo del diseño es muy bajo se suelen montar **fuentes de alimentación lineales**. Estas fuentes disipan los diferenciales de tensión entre la entrada y la salida en forma de calor. Como en este diseño el consumo es medio y la diferencia de potencial entre la entrada y la salida es alta, no es aconsejable montar una fuente de este tipo ya que será necesario montar un radiador en el conversor para disipar el calor.
- Otro tipo son las **fuentes conmutadas**. Estas cuentan con un interruptor de potencia, un inductor y un diodo para transferir la energía de la entrada a la salida. El único problema de estas fuentes es que pueden inducir ruido eléctrico al sistema debido a la velocidad de conmutación. Existen diferentes topologías de fuentes conmutadas. Esto es debido a la diferencia de potencial entre la entrada y la salida. Si esta diferencia es

positiva se denominan *reductores* y si es negativa *elevadores*. En las siguientes figuras se muestran:

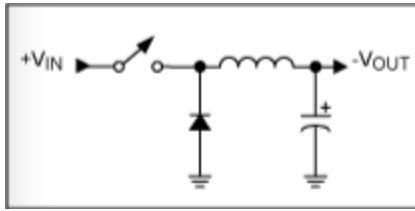


Ilustración 32 - Reductor *buck*

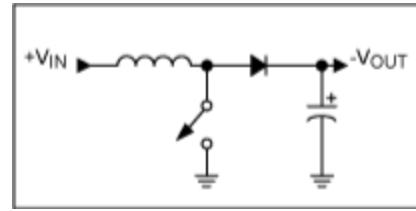


Ilustración 33 - Elevador *boost*

En el diseño de la fuente de 5V se utilizara el tipo reductor *buck* debido a que la diferencia de potencial entre la entrada y para la de 3,3V se utilizara una lineal.

3.7.2 Diseño de la fuente de alimentación 5V

El primer paso para diseñar la fuente de alimentación es conocer la corriente que debe suministrar al circuito para que no tenga problemas de rendimiento. Como se ha comentado en apartados anteriores, la matriz de *LEDs* tendrá un consumo máximo de 100mA, el microcontrolador aproximadamente 10mA y la circuitería de control unos 20mA. Por lo tanto, será necesaria una fuente de alimentación que suministre 5V y unos 150mA aproximadamente. Con estos parámetros se puede proceder al diseño.

Para realizar el diseño se ha utilizado la herramienta de *Texas Instruments Webench Design Center*¹⁵. En esta página, una vez seleccionado el tipo de asistente *Power* (existen para varios tipos de circuitos), solamente queda introducir los parámetros necesarios. En nuestro caso seleccionamos:

- Tensión de entrada: mínima 12V y máxima 24V.
- Corriente de salida: 1A. Se ha sobredimensionado pensando en futuras ampliaciones del sistema.
- Tensión de salida: 5V.

Una vez se han proporcionado todos los parámetros, la aplicación nos muestra una serie de opciones finales para nuestro diseño. En cada una de ellas se especifica el coste, el tamaño y el rendimiento. En este caso se ha seleccionado el sistema con menor coste y más eficiencia.

A continuación se muestra el diseño generado mediante la aplicación *Webench*:

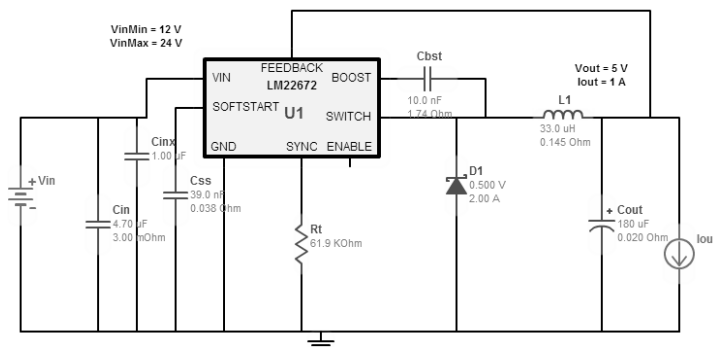


Ilustración 34 - Esquema eléctrico de la fuente de alimentación

¹⁵ Ver herramienta para el cálculo de fuentes de alimentación "[Webench](#)"

3.7.3 Diseño de la fuente de alimentación 3,3V

Para el diseño de la fuente lineal de 3,3V se utilizara un regulador lineal llamado **FAN2504**¹⁶. Este regulador puede suministrar hasta 200mA y tiene un encapsulado muy pequeño (*SOT23*). Además como se va a alimentar a 5V no tiene problemas de disipación. Es un regulador ideal para el microcontrolador.

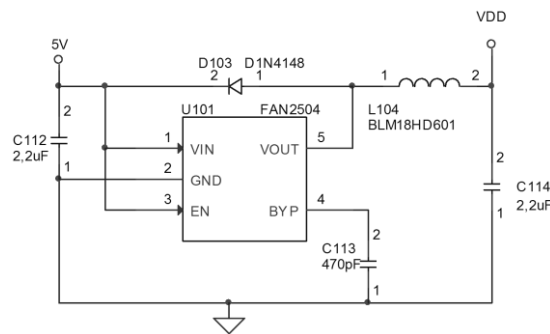


Ilustración 35 - Regulador lineal con salida 3,3V

4 Diseño del firmware

4.1 Selección del compilador

Para realizar el diseño y desarrollo del firmware se utilizara el software gratuito *Kinetis Design Studio* de *Freescale*. Es un compilador *GNU ARM* integrado en el entorno *Eclipse*. La aplicación cuenta con un asistente denominado *Processor Expert* que está pensado para facilitar la configuración de los periféricos del microcontrolador y el propio núcleo. En el desarrollo se utilizara esta herramienta para configurar todos los periféricos.

Esta herramienta permite la configuración de todos los aspectos necesarios para realizar tanto la inicialización de la CPU seleccionada como de sus periféricos. Para todos ellos, permite cambiar de modo sencillo las propiedades del dispositivo seleccionado. Mediante estas propiedades se configura el dispositivo en cuestión y se adapta a las necesidades de cada desarrollo. Además se puede configurar si será necesaria una señal de interrupción o no, si es necesario que el periférico o dispositivo sea inicializado después de un *reset*, o los métodos que es necesario que el asistente añada. Para cada dispositivo configurado se dispone de tres pestañas de configuración:

- **Propiedades:** muestra las propiedades que es posible modificar para el dispositivo, así como seleccionar el pin o pines del microcontrolador que estarán ligados al dispositivo configurado.
- **Métodos:** propone una serie de funciones para generar de manera automática. Se pueden añadir o quitar cuantas se quieran.
- **Eventos o interrupciones:** se puede configurar la interrupción que generara el dispositivo y su nivel de prioridad.

¹⁶ Ver nota de aplicación [FAN2504](#)

A continuación se muestra una imagen del aspecto de *Processor Expert*.

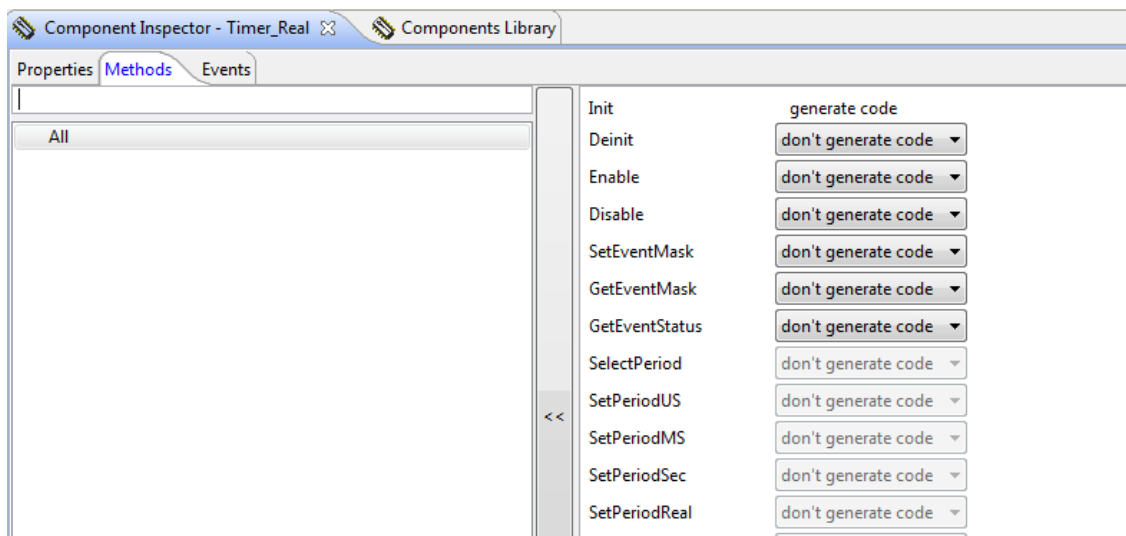


Ilustración 36 - Muestra de *Processor Expert*

Para realizar el *debug* o *simulación* del software se utilizara una tarjeta de demostración denominada *Freedom KL25*. En dicha tarjeta están disponibles todos los pines del microcontrolador por los que se simularan muchos de los comportamientos del software.

4.2 Inicializaciones del microcontrolador

Como ya se comentó en el apartado dedicado a la selección del microcontrolador, la velocidad máxima que soporta es de 48MHz. Para conseguir esta velocidad el dispositivo debe contar con un cristal externo que suministre un *clock* al núcleo. En este apartado se procederá a configurar mediante *Processor Expert* los parámetros dedicados al *clock* interno del microcontrolador. En la siguiente imagen se aprecian los parámetros seleccionados:

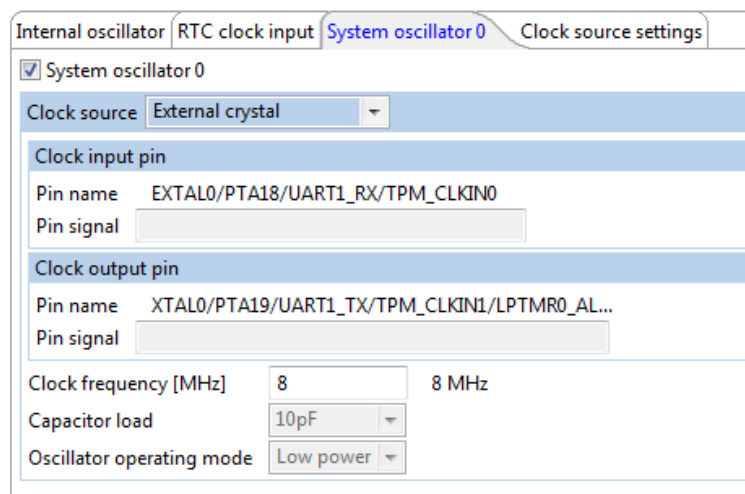


Ilustración 37 - *Processor Expert*. Configuración del *clock* interno

Una vez parametrizado el *clock* del microcontrolador el asistente se encarga de inicializar los registros adecuadamente.

Los demás parámetros de inicialización de la CPU son los que vienen por defecto en el asistente. Esto quiere decir que no trabajaremos con modos especiales de bajo consumo, no

4.4 Programa principal

El programa principal o *main()*, es la línea de ejecución de esta aplicación. Se divide en dos apartados:

- Inicialización de CPU, periféricos y módulos: se realizarán las llamadas necesarias para inicializar las principales funciones del microcontrolador y los módulos o máquinas de estado de cada apartado (control matriz, control luz ambiente, comunicaciones Modbus).
- Ejecución de módulos: se realiza una llamada a cada uno de los módulos. Estas llamadas son ejecuciones de la máquina de estados de cada uno de ellos. Cada máquina de estados ejecutará una acción y devolverá el control al programa principal.

4.4.1 Módulos del programa principal

Los módulos que se ejecutarán en el programa principal serán los siguientes:

- **Comunicaciones Modbus** (*Modbus.c*): en este módulo se procesan los comandos recibidos a través de la línea serie. Estos comandos deberán cumplir la especificación del protocolo Modbus. Si la recepción es correcta se ejecutará la acción requerida y este módulo será el encargado de emitir la respuesta al dispositivo maestro.
- **Control de la matriz** (*ControlMatriz.c*): se trata del módulo que controla las señales de activación y desactivación de la matriz de LEDs. En concreto, es el módulo encargado de generar el *Clock* y de activar o desactivar el led que este seleccionado en la matriz. Además controlará los distintos modos de visualización de la matriz y será el encargado de procesar los mensajes recibidos a través de Modbus.
- **Control de luz ambiente** (*LuzAmbiente.c*): su tarea es realizar medidas de la luz ambiente y en función del resultado calcular y aplicar una señal de *PWM* correcta para controlar la iluminación del panel de LEDs.
- **Temporizador** (*Temporizador.c*): este módulo se ejecuta en segundo plano mediante una interrupción. Cada milisegundo se ejecutará e incrementará una variable que es utilizada como un contador. Este módulo se utilizará de apoyo para realizar temporizaciones y mediciones de tiempo en el programa.

4.4.2 Flujo del programa principal

El flujo del programa es muy básico. Como ya se ha comentado está dividido en dos partes. La primera se ejecuta después de un reset y la segunda es un bucle de ejecución continuo.

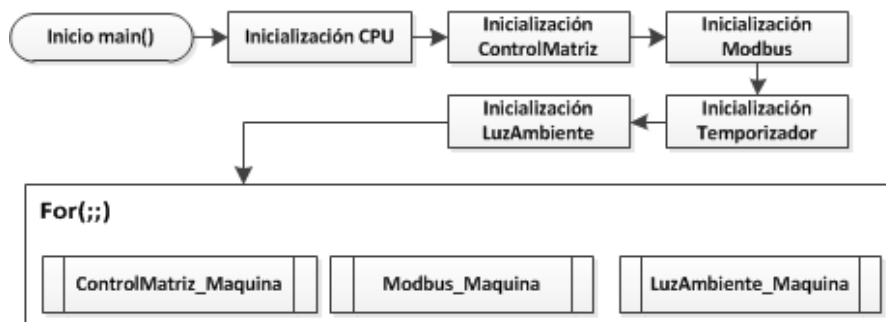


Ilustración 39 - Flujo del programa principal *main()*

4.5 Comunicaciones mediante protocolo Modbus

En este apartado se realizara una introducción al protocolo Modbus y a sus aspectos más generales. Además se explicara cómo se ha adaptado para la funcionalidad necesaria en el TFC.

4.5.1 Introducción al protocolo

Modbus es un protocolo de comunicaciones situado en el nivel 7 del *Modelo OSI*¹⁷. Mediante este protocolo es posible realizar comunicaciones tipo cliente-servidor o maestro-esclavo. En este proyecto realizaremos comunicaciones maestro-esclavo. Esto significa que el maestro siempre tomara la iniciativa en las comunicaciones, por lo que el esclavo solamente se limitara a responder o ejecutar los comandos solicitados por el maestro.

Modbus puede ir implementado en distintos medios físicos. Puede funcionar sobre *TCP-IP*, *RS485* o *RS232*. En este último medio será en el que se utilizara en este proyecto.

4.5.2 Funcionamiento Maestro/Esclavo

En este tipo de funcionamiento existen dos tipos de dispositivos:

- Maestro: es quien toma la iniciativa en las comunicaciones y solamente existe uno. Puede enviar una petición a un dispositivo en concreto (*unicast*) o dirigirse a todos los dispositivos (*broadcast*).
- Esclavo: pueden existir hasta 247 dispositivos conectados en el bus de comunicaciones.

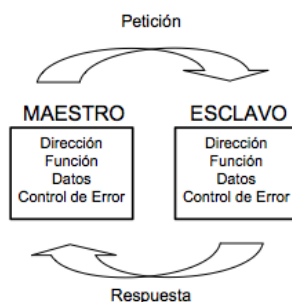


Ilustración 40 - Comunicaciones Maestro/Esclavo en Modbus

4.5.3 Direccionamiento y tramas

El direccionamiento en Modbus se realiza mediante un *byte* en el cual se pueden dar hasta 256 direcciones distintas. La dirección 0 está reservada para las peticiones *broadcast* y el maestro y de la 248 a la 255 están reservadas por el protocolo. Cada una de estas direcciones debe identificar de manera única a un dispositivo.

Tabla 5 - Direccionamiento en Modbus

0	1 a 247	248 a 255
Dirección de maestro	Dirección de cada esclavo	Reservadas por Modbus

El formato de las tramas en Modbus viene determinado por una unidad de datos única denominada *PDU (Protocol Data Unit)*. Esta unidad consta únicamente del comando o código de función a ejecutar y de los datos.

¹⁷ Ver modelo [OSI](#)

Tabla 6 - Trama Modbus. *Protocol Data Unit*

<i>PDU (Protocolo Data Unit)</i>	
Código de función o comando	Datos

Dependiendo del medio físico, redes o buses, se complementa el *PDU* con más información. Esta información es necesaria para identificar al emisor o al receptor o para darle seguridad a los datos enviados. Así pues, en el caso del RS232 se complementa añadiendo un campo de dirección y otro de *CRC*.

Tabla 7 - Formato de trama en Modbus

<i>PDU (Protocolo Data Unit)</i>			
Dirección	Código de función o comando	Datos	CRC

4.5.4 Modos de transmisión serie

En Modbus existen dos tipos de transmisión serie: modo RTU (*Remote Terminal Unit*) y modo ASCII. En este proyecto se utilizara el modo RTU. No se va a explicar el funcionamiento en modo ASCII ya que no es de interés en este momento pero si hay que matizar que todos los dispositivos conectados a un bus deben tener el mismo modo de transmisión serie.

MODO RTU

En el modo RTU se envían *arrays* de *bytes*. Cada *byte* puede ser enviado con un formato de comunicación serie estándar. En este proyecto se enviara por cada *byte* 1 *bit* de *start*, 8 *bit* de datos y 2 *bits* de *stop* o uno dependiendo si se trabaja con paridad o no. La velocidad de comunicación recomendada es de 9600bps.

En este modo de funcionamiento el máximo tamaño de trama será de 256 *bytes* por lo que el formato de la trama quedara de la siguiente manera:

Tabla 8 - Formato de trama en modo RTU

<i>PDU (Protocolo Data Unit)</i>			
Dirección	Código de función o comando	Datos	CRC
1 <i>byte</i>	1 <i>byte</i>	0 a 252 <i>bytes</i>	2 <i>bytes</i>

El cálculo del CRC se realiza mediante un algoritmo proporcionado en la especificación Modbus¹⁸.

Los errores de comunicación vienen controlados en primer lugar por los dispositivos hardware y en segundo lugar por la verificación del CRC y temporizaciones entre *bytes* de la trama y tiempo entre la petición del maestro y la respuesta del esclavo.

En el siguiente flujo se puede observar el envío, respuesta y control de errores en modo RTU:

¹⁸ Link a especificación [Modbus](#).

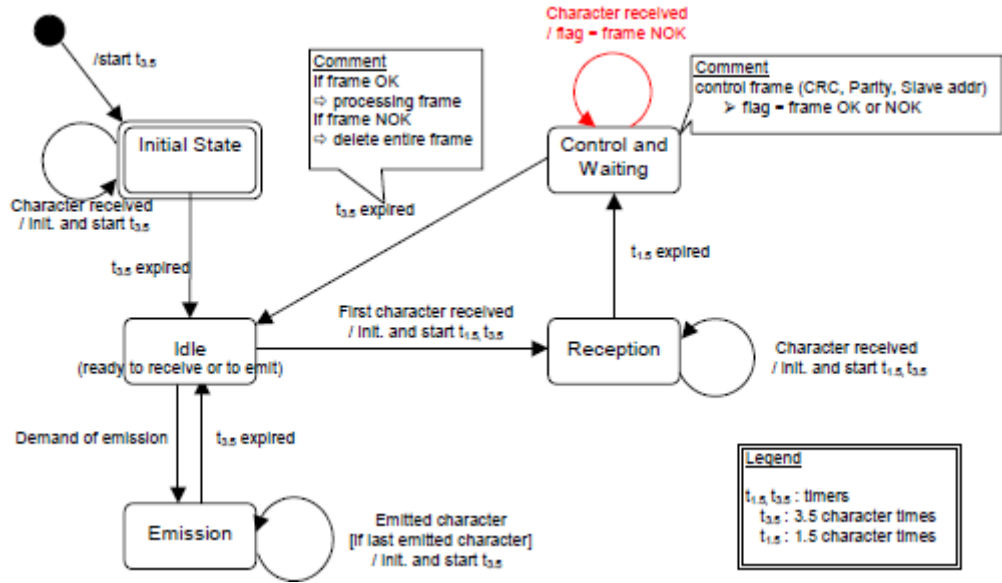


Ilustración 41- Flujo de comunicaciones en modo RTU

4.5.5 El mapa de memoria

Para poder elaborar el mapa de memoria del proyecto en primer lugar se deberá aclarar el tipo de datos que utilizaremos en nuestra aplicación y los rangos de memoria que tenemos disponibles.

Los tipos de datos que implementa Modbus son los siguientes:

- Entrada o salida digital: variable de tamaño 1 bit que es utilizada para la activación de dispositivos o la lectura de sus entradas.
- Registros de entrada o salida: variable de tamaño 16 bits utilizada para la escritura o lectura de señales tipo analógico o registros de la aplicación.

Para nuestra aplicación, y dado que no es necesario que trabajemos directamente con señales de entrada o salida tipo bit, trabajaremos directamente con los registros de entrada o salida. En concreto trabajaremos con los denominados *analog inputs* para la lectura del nivel de luz ambiente y los *holding registers* para la escritura de los parámetros de control y mensajes del panel de LEDs.

Para poder terminar con el mapa de memoria es necesario definir exactamente los datos que se desearan leer o escribir en la aplicación.

Como entradas analógicas será necesario conocer el valor del nivel de luz ambiente.

Como registros de propósito general manejaremos los siguientes datos:

- **Registro estado comunicaciones:** mediante este registro se puede modificar la velocidad de comunicación del dispositivo. Las opciones son 9600 *baudios* o 19200 *baudios*.
- **Registro control:** mediante este registro se podrá enviar la orden de inicio, parada o reposo. Con valor 0 estará en reposo o después de un *reset*, con valor 1 se iniciara el

proceso de mostrar el mensaje en el panel y con valor 2 se detendrá el proceso de mostrar el mensaje.

- **Registro de modo:** mediante este registro se configuran los modos de visualización de mensaje en el panel. Con valor 0 se muestra el mensaje en modo estático, con valor 1 en modo estático temporizado y con valor 3 en modo desplazamiento. Estos modos se explicaran más adelante.
- **Registro temporización:** mediante este registro se configura la temporización si la existe de los modos de trabajo del panel.
- **Registro longitud mensaje:** indicamos la longitud del mensaje que vamos amostrar en el panel.
- **Registros mensaje:** almacena el mensaje a mostrar. Puede tener un tamaño máximo de 250 caracteres.

El mapa de memoria quedaría de la siguiente manera:

Tabla 9 - Mapa de memoria de la aplicación

Dirección	MSB	LSB	Tipo
@30001	Nivel de luz ambiente		Entrada analógica
@40001	Registro de estado comunicaciones		Propósito general
@40002	Registro de control		Propósito general
@40003	Registro de modo		Propósito general
@40004	Registro temporización		Propósito general
@40005	Registro longitud mensaje		Propósito general
@40006	Carácter 1	Carácter 2	Propósito general
hasta			
@40131	Carácter 251	Carácter 252	Propósito general

4.5.6 Comandos o funciones

En Modbus existen tres tipos de comandos o funciones definidos por la especificación. Están las funciones públicas, las definidas por el usuario y las funciones reservadas. En concreto y para el TFC solamente será necesario utilizar alguna de las funciones públicas:

Tabla 10 - Comandos utilizados en la aplicación

Comando	Código	Descripción
<i>Read input registers</i>	04	Lectura de la entrada analógica
<i>Read single register</i>	03	Lectura de registro
<i>Write multiple registers</i>	16	Escritura de registros

El formato de petición y respuesta para cada uno de los comandos será:

Comando 16 (escritura de registros):

Tabla 11 - Solicitud maestro. Comando 16.

Solicitud maestro												
Dirección esclavo	Comando	Dirección registro 1		Nº registros		Nº bytes		Valor registro 1		Valor registro N		CRC
1 byte	1 byte	MSB	LSB	MSB	LSB	1 byte	MSB	LSB	MSB	LSB	MSB	LSB

Tabla 12 - Respuesta esclavo. Comando 16.

Respuesta esclavo							
Dirección esclavo	Comando	Dirección registro 1		Nº bytes escritos		CRC	
1 byte	1 byte	MSB	LSB	MSB	LSB	MSB	LSB

Comando 04 - 03 (lectura de registros analógicos y de propósito general):

Tabla 13 - Solicitud maestro. Comando 04 -03.

Solicitud maestro							
Dirección esclavo	Comando	Dirección registro 1		Nº registros		CRC	
1 byte	1 byte	MSB	LSB	MSB	LSB	MSB	LSB

Tabla 14 - Respuesta esclavo. Comando 04 - 03.

Respuesta esclavo							
Dirección esclavo	Comando	Nº bytes leídos	Valor registro 1		Valor registro N		CRC
1 byte	1 byte	1 byte	MSB	LSB	MSB	LSB	MSB LSB

4.5.7 Códigos de error en la respuesta

En el apartado anterior se trataban los comandos y su respuesta para cuando no existe ningún problema en la transmisión del mensaje, los datos solicitados o la ejecución de la petición. Si cualquiera de estos errores ocurriese, el protocolo ha definido una serie de respuestas para cada situación:

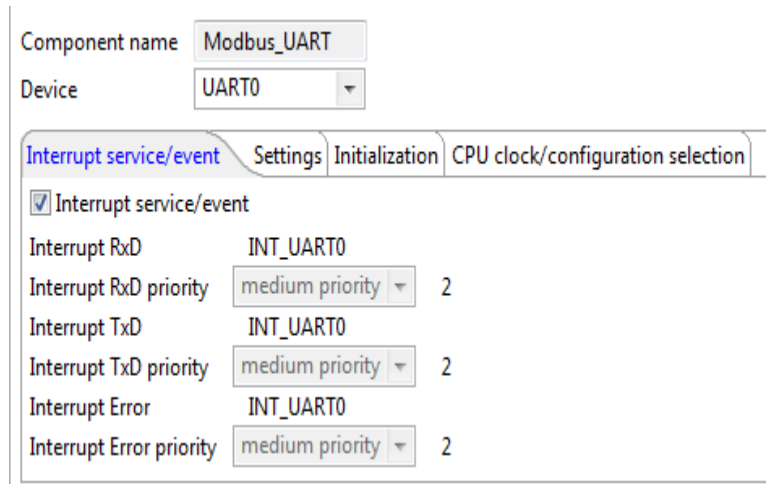
Tabla 15 - Códigos de error en Modbus

Código de error	Tipo de error	Descripción
01	Función no valida	El comando solicitado no existe.
02	Dirección no valida	Dirección fuera del rango.
03	Dato o parámetro no valido	Dato o parámetro no permitido para ese registro.
04	Error de ejecución	No se ha podido ejecutar el comando o hay un error en el dispositivo esclavo.
05	ACK o reconocimiento	Se está procesando la petición.
06	Busy u ocupado	El dispositivo está ocupado con otro comando o función.
16	NACK o error de transmisión	Error en la transmisión.

4.5.8 Inicialización de periféricos UART

La inicialización de la UART que será utilizada en las comunicaciones se ha realizado mediante la herramienta *Processor Expert*. Solamente ha sido necesario indicar que periférico se desea utilizar y los parámetros necesarios para la comunicación (*baudios, bits de start-stop, etc...*)

A continuación los parámetros seleccionados:



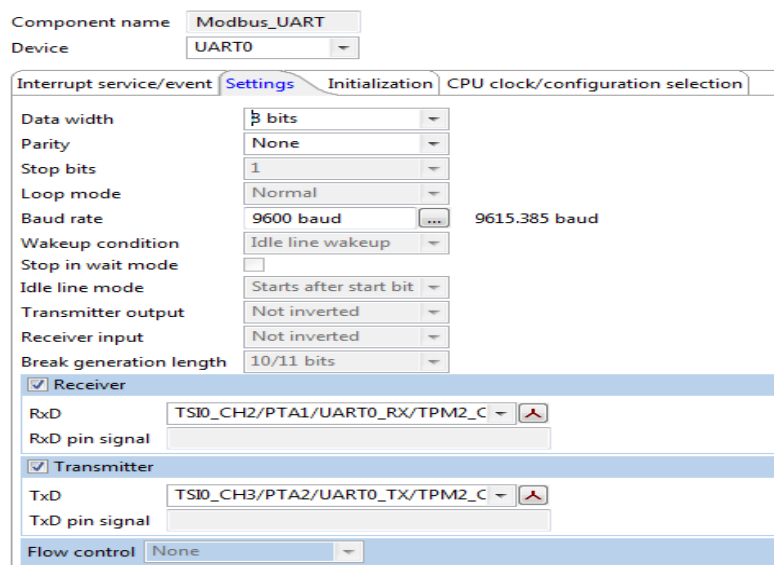
Component name: Modbus_UART
Device: UART0

Interrupt service/event Settings Initialization CPU clock/configuration selection

Interrupt service/event

Interrupt RxD	INT_UART0	
Interrupt RxD priority	medium priority	2
Interrupt TxD	INT_UART0	
Interrupt TxD priority	medium priority	2
Interrupt Error	INT_UART0	
Interrupt Error priority	medium priority	2

Ilustración 42 - Processor Expert. Interrupciones de la UART



Component name: Modbus_UART
Device: UART0

Interrupt service/event Settings Initialization CPU clock/configuration selection

Data width: 8 bits
Parity: None
Stop bits: 1
Loop mode: Normal
Baud rate: 9600 baud (9615.385 baud)
Wakeup condition: Idle line wakeup
Stop in wait mode:
Idle line mode: Starts after start bit
Transmitter output: Not inverted
Receiver input: Not inverted
Break generation length: 10/11 bits

Receiver
RxD: TSI0_CH2/PTA1/UART0_RX/TPM2_C
RxD pin signal:

Transmitter
TxD: TSI0_CH3/PTA2/UART0_TX/TPM2_C
TxD pin signal:

Flow control: None

Ilustración 43 - Processor Expert. Inicialización de la UART

4.5.9 Desarrollo del software

A parte del código generado por *Processor Expert*, se ha desarrollado el módulo *Modbus.c* donde se realiza el control de las comunicaciones y procesamiento de los comandos enviados a través de la *UART*. En concreto, su función es la de procesar los caracteres recibidos y comprobar que se tratan de comandos correctos, dirigidos a la dirección correcta y con los parámetros adecuados. Si no es así, generara el error correspondiente y si es necesario lo transmitirá al maestro. Si el comando es correcto será el encargado de almacenar o leer de los registros la información solicitada.

Además de controlar los datos que llegan por el puerto serie, también es el modulo encargado de controlar las temporizaciones entre *bytes* recibidos. Si se cumple un tiempo determinado entre bytes se reinician los *bufferes* de comunicaciones para comenzar a almacenar otra trama. El flujo de las comunicaciones es muy sencillo. Existen solamente cuatro estados: inicio, esperando, procesando comando y enviando respuesta.

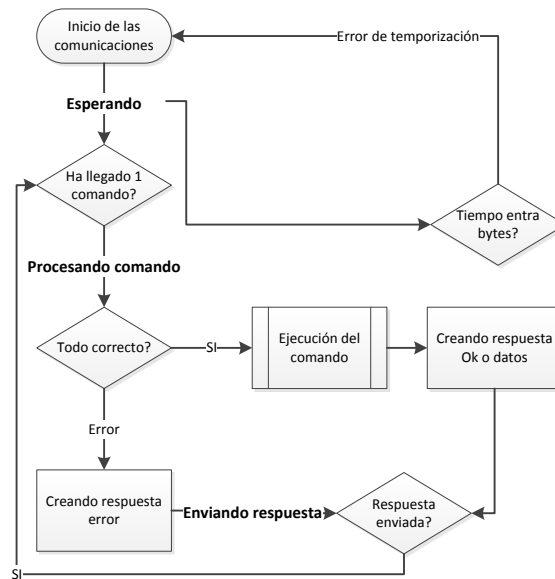


Ilustración 44 - Flujo de comunicaciones Modbus

4.5.10 Simulación del protocolo Modbus

Para realiza la simulación del funcionamiento del protocolo Modbus en el proyecto, se ha utilizado como dispositivo maestro una aplicación (*Modbus poll*) suministrada desde la página Web de Modbus¹⁹. Esta aplicación permite enviar comandos de lectura y escritura de registros de propósito general. Además de la aplicación se ha cargado el software desarrollado en la tarjeta utilizada para realizar *debug*. Como ya se comentó, esta tarjeta es la *Freedom KL25* de Freescale. Para la captura de las señales se ha utilizado un Osciloscopio de PC (Picoscope) vía USB.

En primer lugar se ha capturado el comando de lectura (0x03) de dos registros a partir de la dirección @40001. El sistema devuelve valor 0 y valor 1 para cada uno respectivamente.

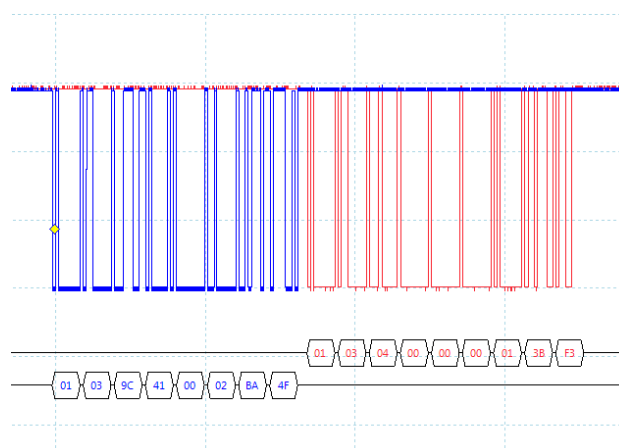


Ilustración 45 - Simulación del comando 0x03 de Modbus

¹⁹ Se puede descargar en el siguiente [link](#).

La siguiente captura es la escritura (0x10) de un registro en la dirección @40004. En concreto estamos escribiendo en el registro de temporizaciones un tiempo de 1000. El sistema responde que ha escrito dos *bytes*.

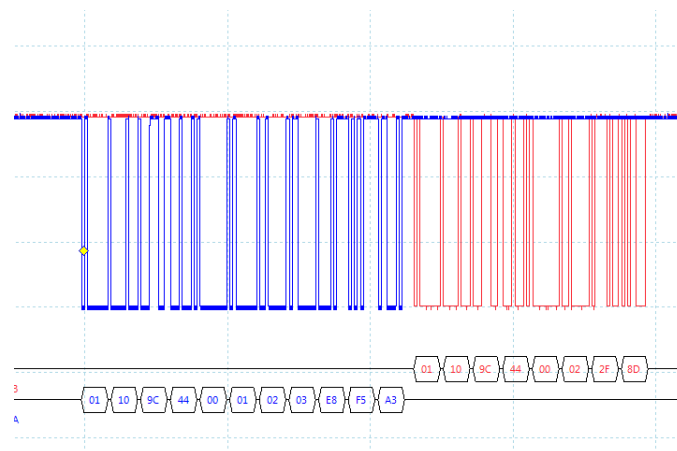


Ilustración 46 - Simulación del comando 0x10 de Modbus

4.6 Control de la matriz de LEDs

Se denomina control de la matriz de LEDs a la parte del software que está dedicada a transformar los mensajes que llegan mediante Modbus en señales eléctricas. Estas señales serán las que mostrarán el mensaje en los LEDs. En esta transformación se tendrán en cuenta los distintos parámetros seleccionados por el usuario.

Se denominan parámetros seleccionados por el usuario a los registros que leeremos o escribiremos mediante las comunicaciones vía línea seria y protocolo Modbus. Para un correcto funcionamiento del panel o matriz de LEDs es necesario seguir una secuencia de inicialización correcta de los registros:

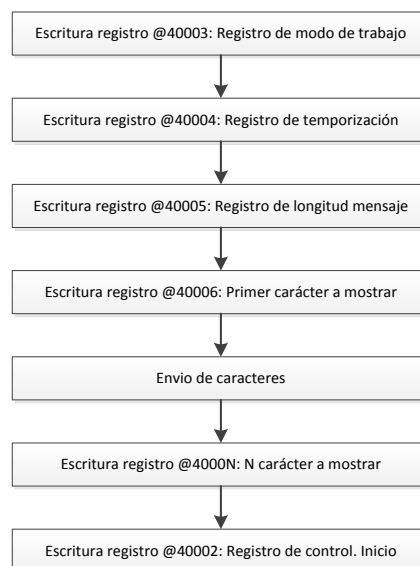


Ilustración 47 - Secuencia de inicio de un nuevo mensaje

Existirán distintos modos de trabajo del panel (registro @40003):

- **Estático (valor 0):** se muestra un único carácter en la matriz de LEDs y para cambiarlo es necesario enviar otra secuencia de mensajes a través de Modbus.
- **Estático temporizado (valor 1):** se puede mostrar un mensaje o array de caracteres. Los caracteres van cambiando cuando se cumple la temporización (registro @40004) enviada a través de Modbus.
- **Desplazamiento (valor 2):** se puede mostrar un mensaje o array de caracteres. El mensaje va deslizándose por la matriz y la velocidad de deslizamiento (registro @40004) es enviada por Modbus.

El código fuente de este módulo está contenido en el fichero *ControlMatriz.c* y la definición de variables y funciones públicas en el fichero *ControlMatriz.h*. El control se realiza mediante un máquina de estados denominada *ControlMatriz_Maquina()* que es llamada desde el programa principal y la función de interrupción *ControlMatriz_Interrupcion35us()* que es ejecutada cada 35µ por la interrupción del *Timer_Clock*.

El flujo de ejecución de la máquina de estados *ControlMatriz_Maquina()* será el siguiente:

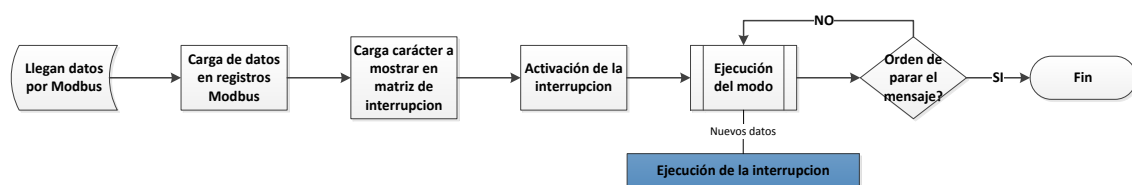


Ilustración 48 - Flujo de *ControlMatriz_Maquina()*

En el anterior flujo de programa se observa el traspaso de datos entre los registros de Modbus y la interrupción. Este traspaso de datos es necesario para controlar los distintos modos de trabajo configurados. En el traspaso de datos se realizara la translación del carácter ASCII (registros @40006-@40131) a los datos formateados para mostrar en la matriz. En este módulo se ha incluido la tabla de la fuente *swiss721_outline*²⁰ en la que cada carácter tiene un formato de 16x16 bits que se ajusta perfectamente al panel de LEDs.

Para el modo estático y estático temporizado se cargan los datos directamente en una matriz de 16x16 bits.

$$ASCII \rightarrow \begin{bmatrix} b_{16:1} & \cdots & b_{1:1} \\ \vdots & \ddots & \vdots \\ b_{16:16} & \cdots & b_{1:16} \end{bmatrix}$$

Para el modo de desplazamiento se cargara el primer carácter a mostrar en la parte derecha de una matriz de 32x16 bits. Cada vez que se cumpla la temporización (registro @40004) se desplazaran las columnas una posición hacia la izquierda. Se seguirá este proceso hasta que se haya desplazado 16 veces que será el momento en el que se realice la carga del siguiente carácter a mostrar. En ese momento estará siendo visualizado el carácter completamente en la matriz de LEDs y mediante los siguientes desplazamientos desaparecerá por la parte izquierda.

²⁰ La fuente *swiss 721 outline* se ha obtenido del siguiente [link](#).

$$ASCII \rightarrow \begin{bmatrix} b_{32:1} & \cdots & b_{1:1} \\ \vdots & \ddots & \vdots \\ b_{32:16} & \cdots & b_{1:16} \end{bmatrix}$$

4.6.1 Inicialización de los periféricos

En este apartado se manejarán en concreto tres pines o señales del microcontrolador y una interrupción de *timer*. Se han utilizado pines I/O de propósito general para estas señales. Las señales son:

- *Clock_Counter*: proporciona el *clock* al circuito que genera el barrido de las filas y columnas.
- *Reset_Counter*: poniendo esta señal a nivel alto se genera un *reset* o reinicio en los contadores de filas y columnas.
- *Data_Counter*: poniendo esta señal a nivel se aplica al led que está seleccionado una corriente establecida por la señal *PWM_Led*.

Para la inicialización de los periféricos se ha utilizado *Processor Expert*. A continuación se muestran las capturas realizadas con las configuraciones de cada uno de ellos.

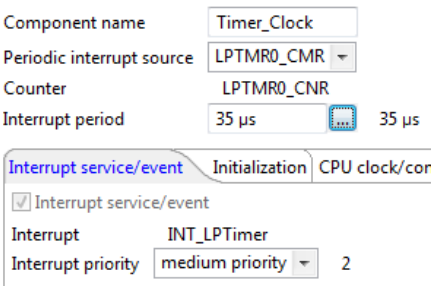
	<p><u>Timer Clock</u> Configurado para ejecutar una interrupción cada 35µs. Prioridad asignada a la interrupción de tipo medio.</p>
--	---

Ilustración 49 - *Processor Expert*. Inicialización del *timer* de 35µs

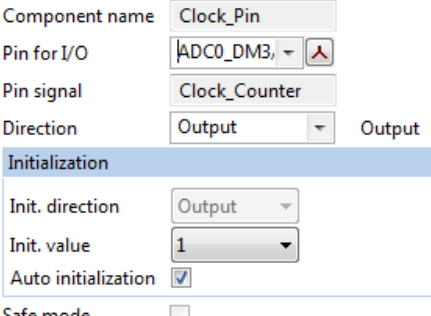
	<p><u>Clock Counter</u> Se ha utilizado el pin PTE23 del microcontrolador. Se configura como salida y se le asigna un valor de inicio de nivel alto.</p>
---	--

Ilustración 50 - *Processor Expert*. Inicialización *Clock_Counter*

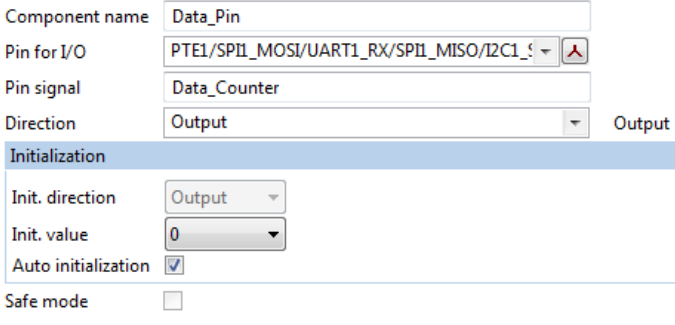
	<p><u>Data Counter</u> Se ha utilizado el pin PTE1 del microcontrolador. Se configura como salida y se le asigna un valor de inicio de nivel bajo.</p>
---	--

Ilustración 51 - *Processor Expert*. Inicialización *Data_Counter*

Component name:

Pin for I/O:

Pin signal:

Direction: Output

Initialization

Init. direction:

Init. value:

Auto initialization:

Safe mode:

Reset Counter

Se ha utilizado el pin PTE0 del microcontrolador. Se configura como salida y se le asigna un valor de inicio de nivel alto.

Ilustración 52 - Processor Expert. Inicialización Reset_Counter

Definiendo estas simples propiedades en los periféricos, quedan completamente configurados y listos para su uso.

4.6.2 Interrupción del Clock

La interrupción que se ejecutara cada 35µs estará dividida en dos partes: la aplicación del flanco de subida y la aplicación del flanco de bajada. Cada una de las partes estará separada por 35 µs y se ejecutarán distintas tareas necesarias para el control de la matriz. En el flanco de bajada prepararemos el dato para encender o apagar el led siguiente. En el flanco de subida cargaremos los valores anteriores en la matriz. Mediante esta separación también se consigue que no se colapse la ejecución en un ciclo por exceso de trabajo. En el siguiente flujo de programa podemos observar el funcionamiento.

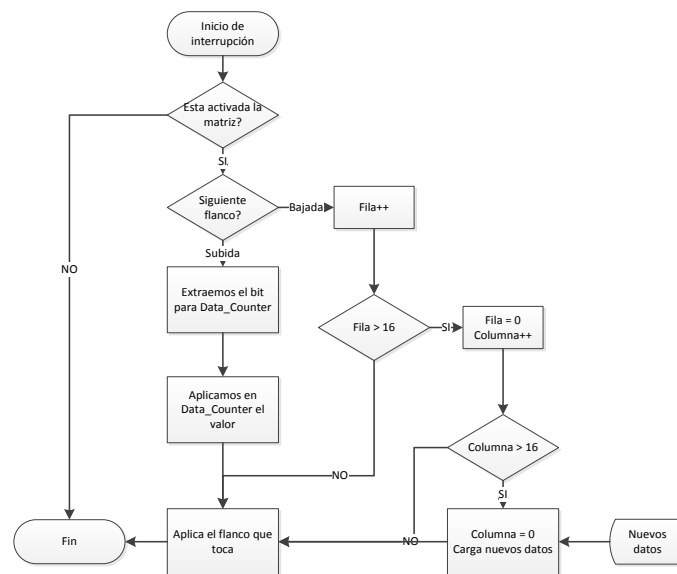


Ilustración 53 - Flujo de la interrupción de 35µs

En el flujo de la interrupción los datos no se refrescan hasta que no se han procesado los 256 LEDs de la matriz. El proceso consiste en realizar un barrido mediante los contadores explicados en el hardware. Se sincronizan los pulsos de la señal *Clock_Counter* con las variables de control *Fila* y *Columna*. Cuando se desea activar el control de la matriz se reinician los contadores mediante la señal *Reset_Counter* y a su vez se inicializan las variables de control. De este modo se consigue una sincronización exacta entre software y hardware.

4.6.3 Simulación

Para la simulación se ha realizado un ejercicio sencillo. Hemos forzado en el software que se muestren en la matriz de LEDs distintos datos y se ha conectado el osciloscopio para comprobar que el resultado es el esperado. Las señales que se visualizan son: *D0* es *Data_Counter*, *D1* es *Clock_Counter* y *D2* es *Reset_Counter*.

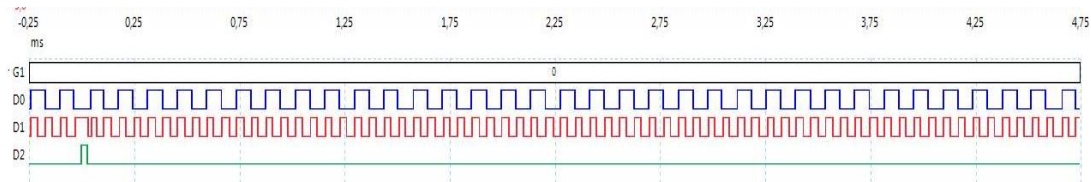


Ilustración 54 - Simulación datos tipo 1 en matriz, primer tramo

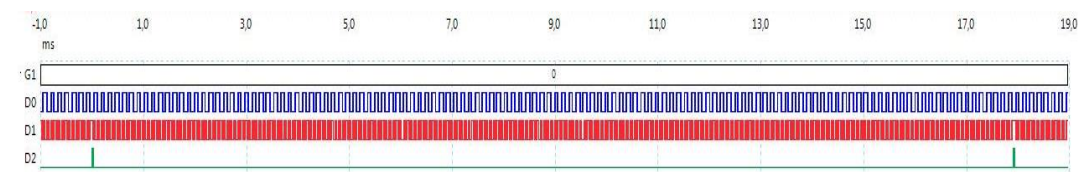


Ilustración 55 - Simulación datos tipo 1 en matriz, barrido completo

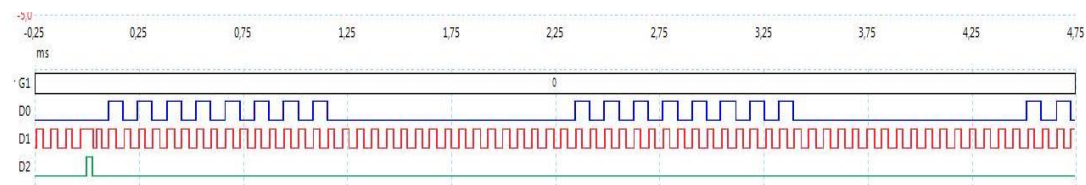


Ilustración 56 - Simulación datos tipo 2 en matriz, primer tramo

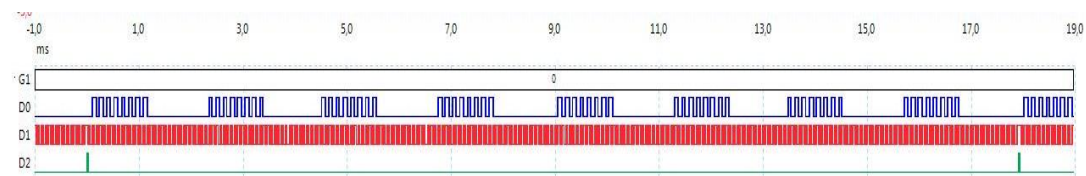


Ilustración 57 - Simulación datos tipo 2 en matriz, barrido completo

Simulación datos tipo 1: En la matriz de datos cargamos un valor 0xFFFFFFFF para las filas impares y de 0x00000000 para las pares. Como se puede observar, el resultado es que durante el barrido vamos alternando el valor 0 y 1 en el pin *Data_Counter* ya que como se ha comentado se selecciona una columna y luego se barren todas las filas.

Simulación datos tipo 2: En la matriz de datos cargamos un valor de 0x50505050 para las filas impares y de 0x05050505 para las filas pares. Como se puede observar, el resultado es que durante el barrido vamos mostrando el valor de *Data_Counter* de manera simétrica. Se han elegido precisamente estos datos para mostrar el correcto funcionamiento por su simetría.

Con estas dos simulaciones se deja claro el correcto funcionamiento del apartado de software dedicado al barrido de la matriz de LEDs. Además si se observan los tiempos queda claro que se cumplen los objetivos de refresco de la matriz de LEDs en los tiempos en que el ojo humano no es capaz de captar cambios. Recordemos que eran 20ms.

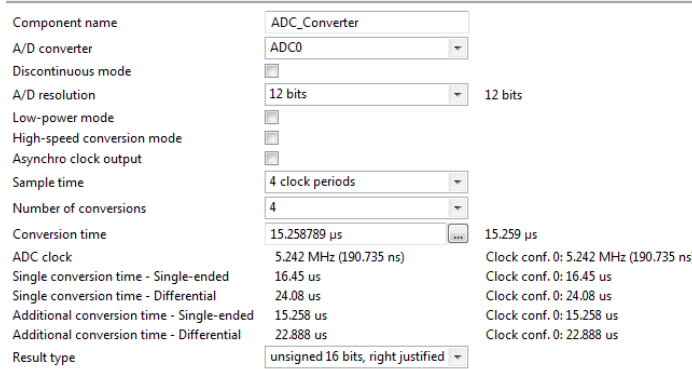
4.7 Control de la luz ambiente

La principal función de este módulo es la de calcular el valor óptimo de *PWM* para aplicar al panel de LEDs. En resumen, cuando existe mucha luz ambiente el panel deberá funcionar con una alta luminosidad y por el contrario, cuando haya poca luz ambiente o sea nula, el panel deberá funcionar con una luminosidad baja.

Para conseguir este efecto el hardware consta con un medidor de luz ambiente. La luz se medirá mediante un amplificador de transconductancia conectado a una entrada del conversor analógico-digital del microcontrolador. También será necesario contar con una salida de *PWM* del microcontrolador. Este pin será el encargado de aplicar el nivel correcto de luminosidad al panel.

4.7.1 Periféricos para controlar la luz ambiente

Para el control de la luz ambiente se utilizarán dos periféricos del microcontrolador. Un canal del conversor analógico-digital y una salida de *PWM*.



Component name: ADC_Converter

A/D converter: ADC0

Discontinuous mode:

A/D resolution: 12 bits (12 bits)

Low-power mode:

High-speed conversion mode:

Asynchro clock output:

Sample time: 4 clock periods

Number of conversions: 4

Conversion time: 15.258789 µs (15.259 µs)

ADC clock: 5.242 MHz (190.735 ns)

Single conversion time - Single-ended: 16.45 µs (Clock conf. 0: 5.242 MHz (190.735 ns))

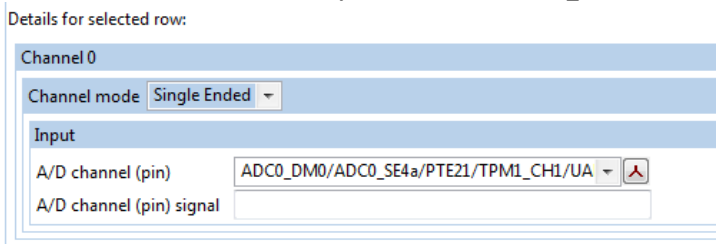
Single conversion time - Differential: 24.08 µs (Clock conf. 0: 16.45 µs)

Additional conversion time - Single-ended: 15.258 µs (Clock conf. 0: 24.08 µs)

Additional conversion time - Differential: 22.888 µs (Clock conf. 0: 15.258 µs)

Result type: unsigned 16 bits, right justified (Clock conf. 0: 22.888 µs)

Ilustración 58 - Processor Expert. Inicialización ADC_Converter



Details for selected row:

Channel 0

Channel mode: Single Ended

Input

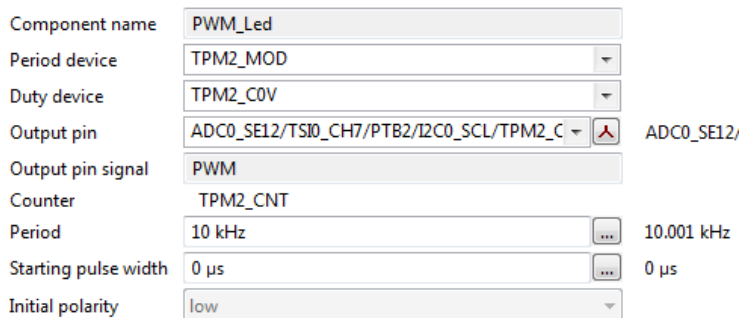
A/D channel (pin): ADC0_DM0/ADC0_SE4a/PTE21/TPM1_CH1/UA

A/D channel (pin) signal:

Ilustración 59 - Processor Expert. Selección del pin para ADC_Converter

ADC Converter

Se ha utilizado el pin PTE21 del microcontrolador. Se ha seleccionado una resolución de 12 bits y un tiempo de conversión de aproximadamente 15µs. También se ha configurado una interrupción al final de la medida del conversor. De este modo no es necesario estar a la espera de la finalización de la conversión A/D.



Component name: PWM_Led

Period device: TPM2_MOD

Duty device: TPM2_C0V

Output pin: ADC0_SE12/TS10_CH7/PTB2/I2C0_SCL/TPM2_C (ADC0_SE12)

Output pin signal: PWM

Counter: TPM2_CNT

Period: 10 kHz (10.001 kHz)

Starting pulse width: 0 µs

Initial polarity: low

Ilustración 60 - Processor Expert. Inicialización de PWM_Led

PWM Led

Se ha utilizado el pin PTB2 del microcontrolador. Se ha configurado con una frecuencia de 10KHz.

4.7.2 Desarrollo de la solución

Se ha desarrollado una máquina de estados en la cual se están realizando medidas de la luz ambiente cada 100 ms. Cada una de estas medidas se almacena en un *buffer* de ocho posiciones. Por último, se median las ocho posiciones para tener una respuesta más lenta a los cambios de luz. El propósito de este algoritmo es que las variaciones de luz ambiente bruscas no hagan fluctuar la intensidad del display.

En cuanto al cálculo del valor de *PWM* que es necesario aplicar a los LEDs, se realiza una traslación mediante la siguiente función:

$$f(Valor_{Luz}) = \begin{cases} PWM_{Led} = 60735, & Valor_{Luz} < 300 \\ PWM_{Led} = 56000 - (Valor_{Luz} \ll 4), & 300 < Valor_{Luz} < 3500 \\ PWM_{Led} = 0, & 3500 < Valor_{Luz} \end{cases}$$

En primer lugar y para poder explicar esta función, hay que aclarar que el 100% del *PWM* o lo que es lo mismo, la máxima corriente de excitación de los LEDs se consigue con la carga del valor 0 en *PWM_Led*. Por consiguiente, con 65535 se tendrá la mínima corriente de excitación de los LEDs. También se debe tener en cuenta, que el valor medido en el conversor es un valor de 12 *bits*. Por este motivo se realiza la rotación de 4 posiciones a la izquierda en los cálculos para eliminar los valores mínimos e igualarlo a 16 *bits* como el *PWM_Led*.

La función propuesta tiene tres rangos de valores:

- Cuando la luz ambiente es menor de 300 puntos del conversor significa que no existe apenas luz por lo que no será necesario aplicar una corriente elevada al led para que sea visible. En este punto aplicaremos el valor mínimo para que los LEDs luzcan con su mínima intensidad.

$$60735 = 300 \ll 4 \rightarrow 8mA$$

- Cuando la luz ambiente es superior a 300 e inferior a 3500 puntos (equivalente a máxima luz ambiente en interior) aplicaremos la siguiente ecuación:

$$PWM_{Led} = 56000 - (Valor_{Luz} \ll 4)$$

$$56000 = 3500 \ll 4 \rightarrow \text{Desde } 8mA \text{ hasta } 100mA$$

- Por último, cuando la luz ambiente supera el valor 3500 aplicaremos la máxima intensidad a los LEDs

4.7.3 Simulación de la solución

Como en apartados anteriores, para realizar la simulación se ha utilizado la tarjeta *Freedom KL25* de *Freescale*. Ha esta tarjeta se le ha conectado un potenciómetro en la entrada A/D correspondiente. Con este sistema se simula la lectura de la luz ambiente. Se ha utilizado el Osciloscopio de PC para capturar las dos señales correspondientes: la entrada analógica y la salida de *PWM_Led*.

En todas las mediciones se han añadido medidas de referencia como por ejemplo la tensión media proporcionada por la señal de *PWM*, el porcentaje de *PWM* aplicado y los valores de medida mínimos y máximos de cada uno de los canales capturados.

4 - Diseño del firmware

Por último se han realizado tres simulaciones:

- Sin nivel de luz (0V).
- Nivel de luz bajo (975mV).
- Nivel de luz alto pero sin saturar (2,5V).

A continuación los resultados obtenidos:

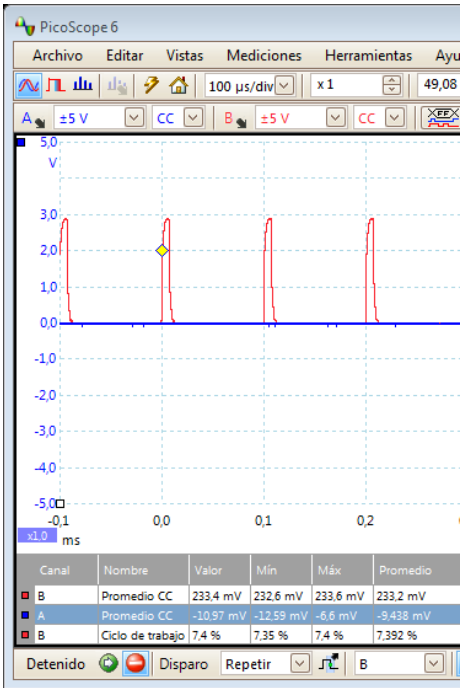


Ilustración 61 - Simulación luz ambiente. Luz nula.

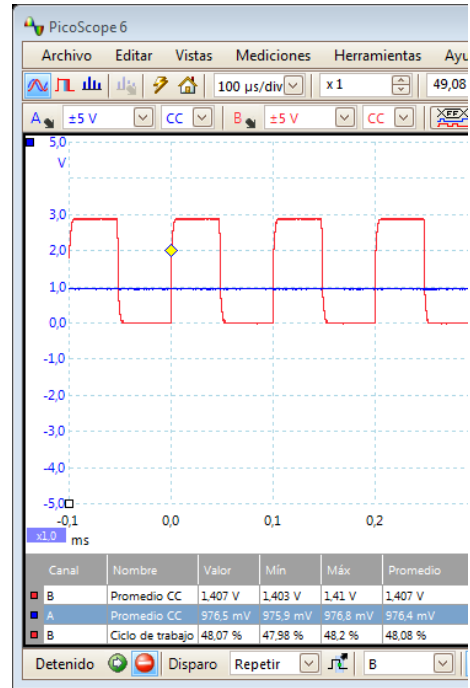


Ilustración 62 - Simulación luz ambiente. Luz muy débil.

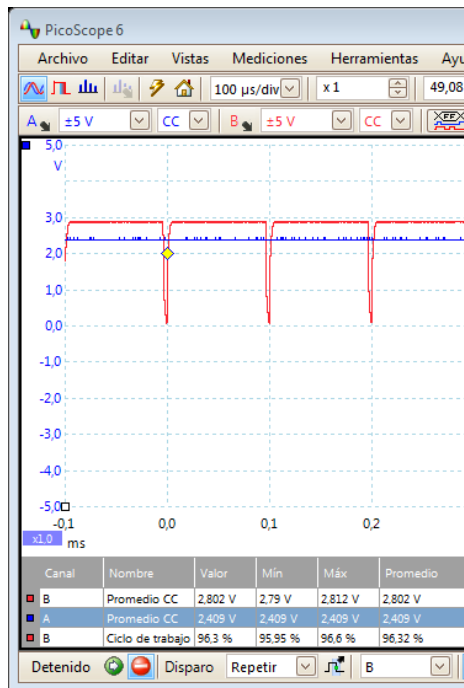


Ilustración 63 - Simulación de luz ambiente. Luz de interior máxima

5 Industrialización de la solución

5.1 Esquema eléctrico del TFC

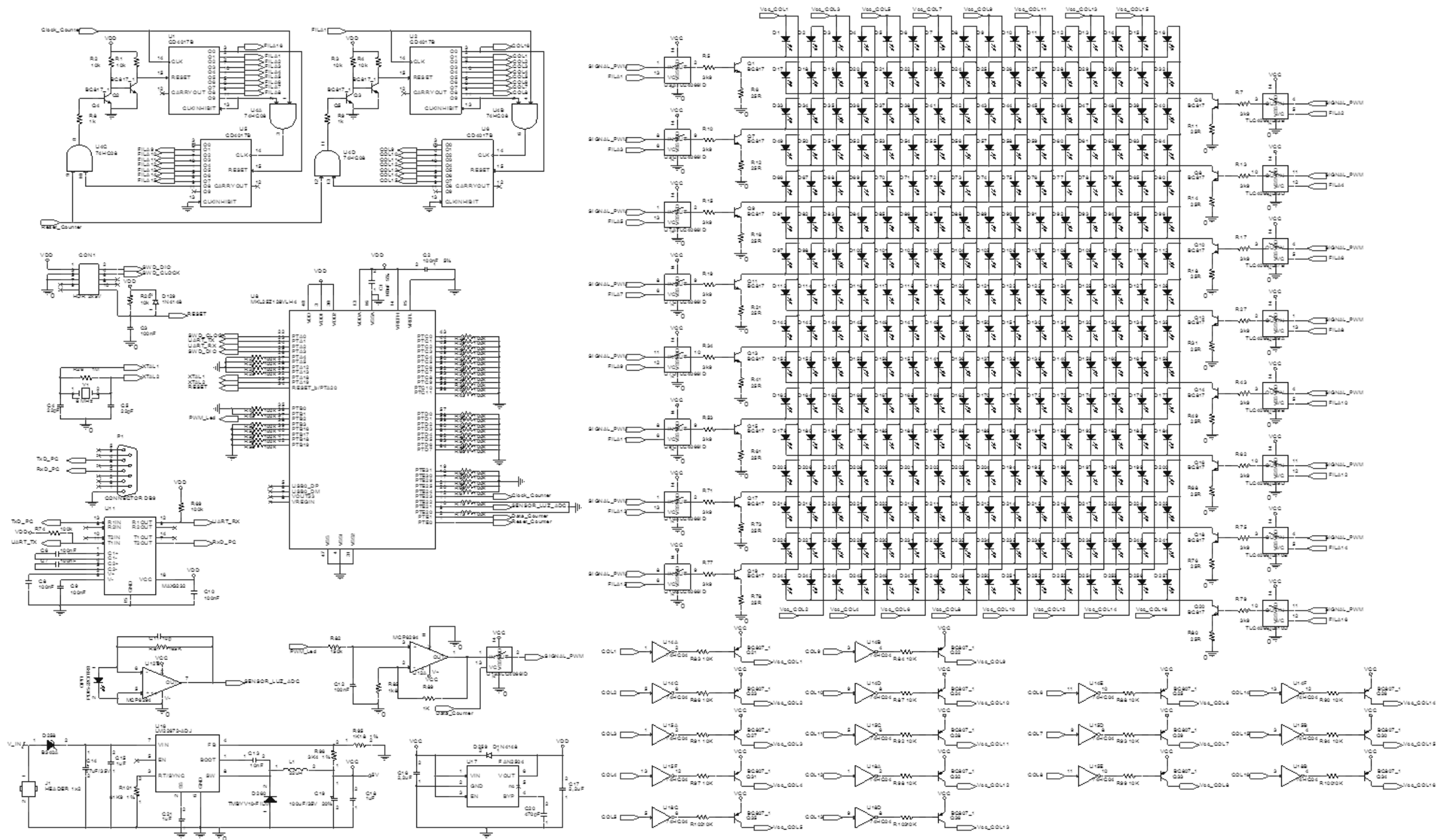


Ilustración 64 - Esquema eléctrico final del TFC

5.2 Ruteado de la PCB

Para realizar el ruteado de la PCB o *layout* final se ha utilizado la herramienta *Cadstat 13*. Se ha partido del esquema eléctrico dibujado en *Orcad* y exportado en formato *Rinf*. El *layout* se ha realizado en dos capas. En la capa superior o *top* se han situado los componentes. En ambas caras, superior e inferior, se han añadido planos de masa. Alrededor de las fuentes de alimentación se han añadido planos de las señales de potencia o alimentación. En ambos casos, el propósito de estos planos de cobre es el de prevenir emisiones electromagnéticas de las pistas. Con estos planos cerramos las líneas de flujo magnético de las pistas. El resultado es el que se muestra a continuación:

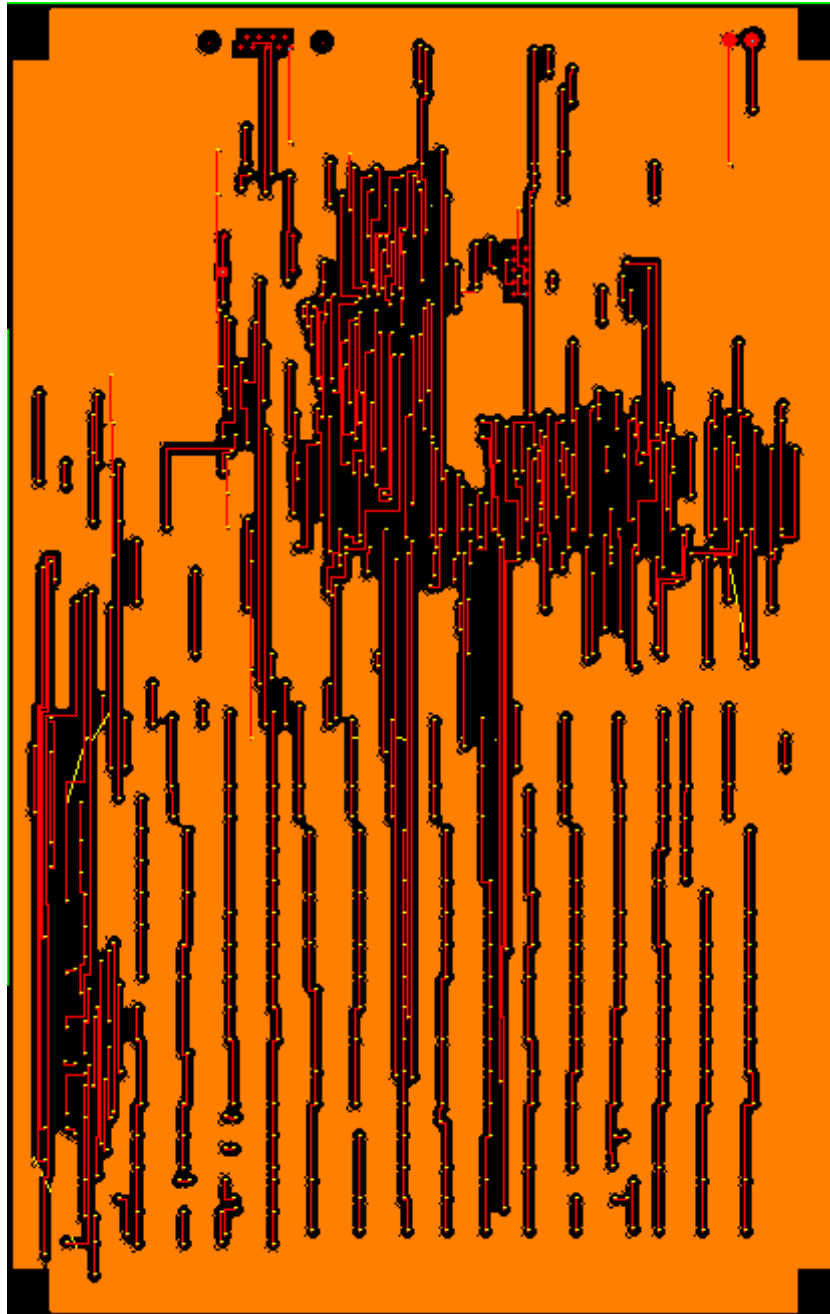


Ilustración 65 - PCB cara pistas *botton*

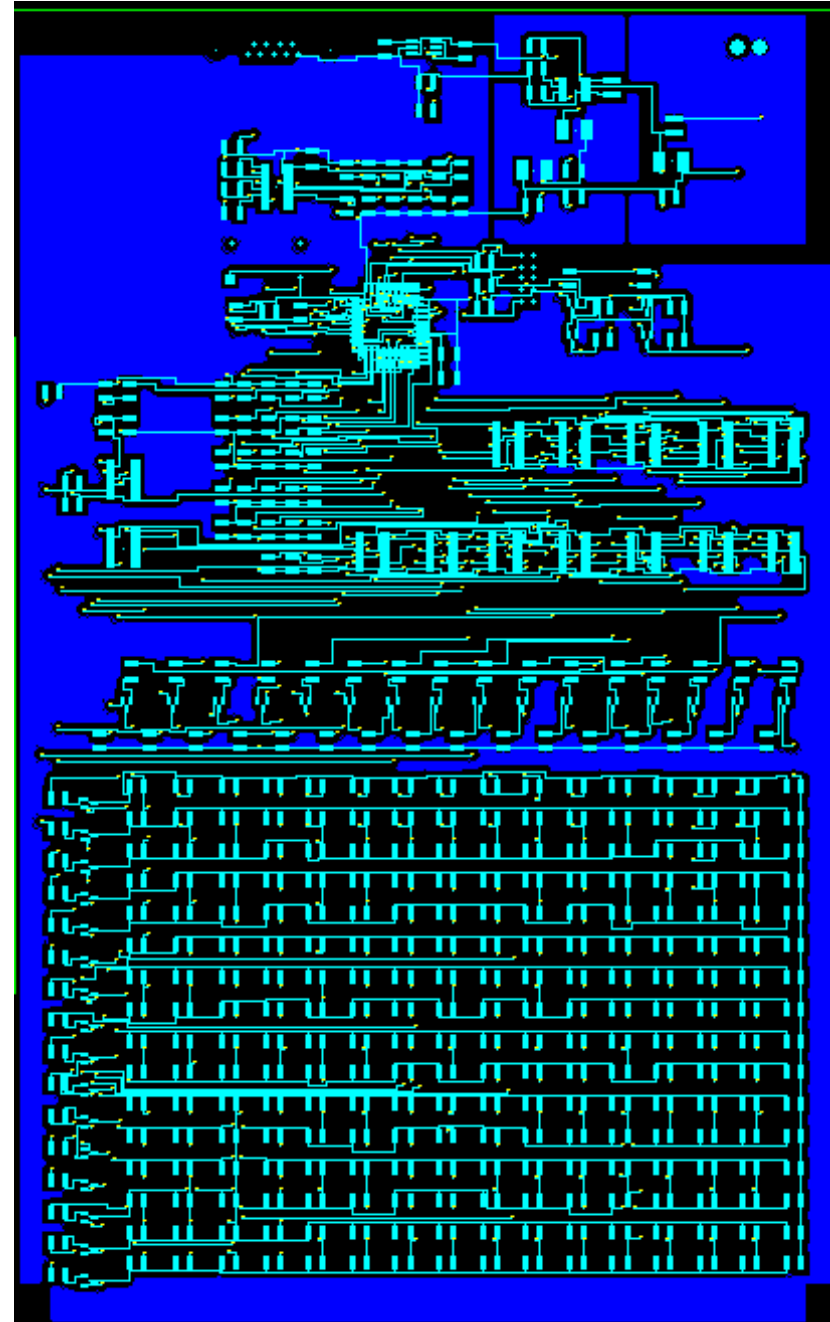


Ilustración 66 - PCB cara pistas *top*

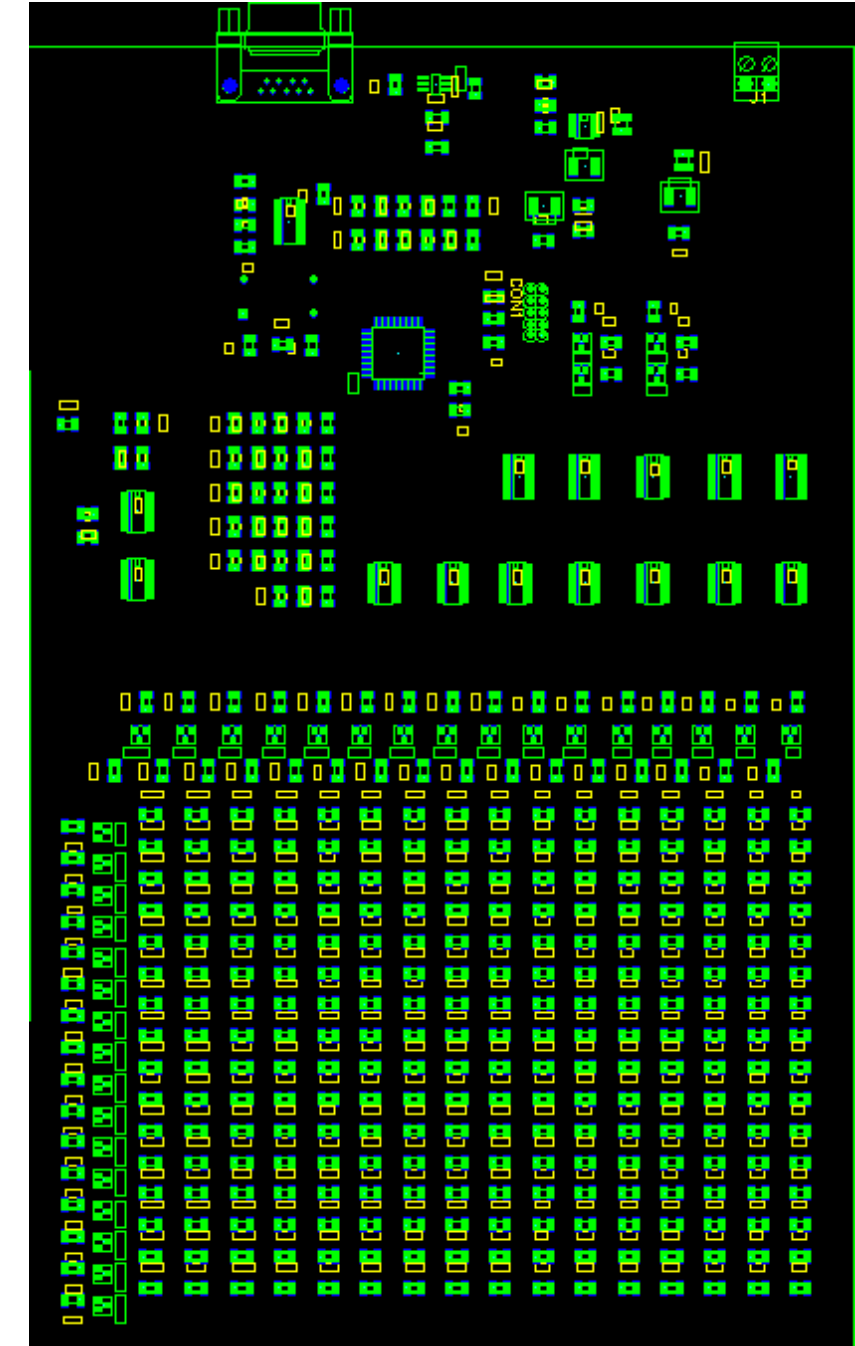


Ilustración 67 - PCB Situación de componentes

5.3 Listado de componentes

Ítem	Cantidad	Referencia	Denominación	Precio	Total
1	1	CON1	HDR 2x5V	0,882€	0,882 €
3	9	C1,C2, C3,C6,C7,C8,C9,C10,C12	100nF 1206	0,067€	0,603 €
4	2	C4,C5	22pF 1206	0,039€	0,078 €
5	1	C11	10pF 1206	0,226€	0,226 €
6	1	C13	10nF 1206	0,061€	0,061 €
7	1	C14	47uF/35V Radial	0,70€	0,700 €
8	3	C15,C18,C21	1uF 1206	0,052€	0,156 €
9	2	C16,C17	2,2uF 1206	0,15€	0,300 €
10	1	C19	100uF/35V Radial	0,70€	0,700 €
11	1	C20	470pF 1206	0,115€	0,115 €
12	256	D1,D2,D3,D4,D5,D6,D7,D8,D9,D10,D11,D12,D13,D14,D15,D16,D17,D18,D19,D20,D21,D22,D23,D24,D25,D26,D27,D28,D29,D30,D31,D32,D33,D34,D35,D36,D37,D38,D39,D40,D41,D42,D43,D44,D45,D46,D47,D48,D49,D50,D51,D52,D53,D54,D55,D56,D57,D58,D59,D60,D61,D62,D63,D64,D65,D66,D67,D68,D69,D70,D71,D72,D73,D74,D75,D76,D77,D78,D79,D80,D81,D82,D83,D84,D85,D86,D87,D88,D89,D90,D91,D92,D93,D94,D95,D96,D97,D98,D99,D100,D101,D102,D103,D104,D105,D106,D107,D108,D109,D110,D111,D112,D113,D114,D115,D116,D117,D118,D119,D120,D121,D122,D123,D124,D125,D126,D127,D128,D130,D131,D132,D133,D134,D135,D136,D137,D138,D139,D140,D141,D142,D143,D144,D145,D146,D147,D148,D149,D150,D151,D152,D153,D154,D155,D156,D157,D158,D159,D160,D161,D162,D163,D164,D165,D166,D167,D168,D169,D170,D171,D172,D173,D174,D175,D176,D177,D178,D179,D180,D181,D182,D183,D184,D185,D186,D187,D188,D189,D190,D191,D192,D193,D194,D195,D196,D197,D198,D199,D200,D201,D202,D203,D204,D205,D206,D207,D208,D209,D210,D211,D212,D213,D214,D215,D216,D217,D218,D219,D220,D221,D222,D223,D224,D225,D226,D227,D228,D229,D230,D231,D232,D233,D234,D235,D236,D237,D238,D239,D240,D241,D242,D243,D244,D245,D246,D247,D248,D249,D250,D251,D252,D253,D254,D255,D256,D257	LS_T67K-TYP PLCC2	0,09€	23,040 €
13	1	D129, D259	1N4148 1206	0,033€	0,033 €
14	1	D258	B340A	0,128€	0,128 €
16	1	D260	TMBYV10-FILM	0,265€	0,265 €
17	1	J1	HEADER 1x2		0,000 €
18	1	L1	22uH SMD	2,06€	2,060 €
19	1	OPT1	PD15-22C/TR8	0,23€	0,230 €
20	1	P1	CONNECTOR DB9	1,3€	1,300 €
21	20	Q1,Q2,Q3,Q4,Q5,Q6,Q7,Q8,Q9,Q10,Q11,Q12,Q13,Q14,Q15,Q16,Q17,Q18,Q19,Q20	BC817 SOT23	0,025€	0,500 €
22	16	Q21,Q22,Q23,Q24,Q25,Q26,Q27,Q28,Q29,Q30,Q31,Q32,Q33,Q34,Q35,Q36	BC807 SOT23	0,039€	0,624 €
23	21	R1,R2,R3,R4,R20,R83,R84,R86,R87,R88,R90,R91,R92,R93,R94,R97,R98,R99,R100,R102,R103	10K 1206	0,003€	0,063 €
24	16	R5,R7,R10,R13,R15,R17,R19,R27,R34,R43,R53,R62,R71,R75,R77,R79	3k9 1206	0,003€	0,048 €
25	16	R6,R11,R12,R14,R16,R18,R21,R31,R41,R49,R61,R68,R73,R76,R78,R80	25R 1206	0,003€	0,048 €
26	3	R8,R9,R89	1K 1206	0,003€	0,009 €
27	40	R22,R23,R24,R25,R28,R29,R30,R32,R33,R35,R36,R37,R38,R39,R40,R42,R44,R45,R46,R47,R48,R50,R51,R52,R54,R55,R56,R57,R58,R59,R60,R63,R64,R65,R66,R67,R69,R70,R72,R74	100k 1206	0,003€	0,120 €
28	1	R26	1M 1206	0,003€	0,003 €
29	1	R81	165K 1206	0,03€	0,030 €
30	1	R82	150k 1206	0,03€	0,030 €
31	1	R85	1k8 1206	0,03€	0,030 €
32	1	R95	1K18 1% 1206	0,04€	0,040 €
33	1	R96	3K4 1% 1206	0,04€	0,040 €

34	1	R101	61K9 1% 1206	0,04€	0,040 €
35	4	U1,U2,U5,U6	CD4017B SOP16	0,159€	0,636 €
36	5	U3,U7,U9,U10,U13	TLC4066ID SOP14	0,198€	0,990 €
37	1	U4	74HC08 SOP14	0,271€	0,271 €
38	1	U8	MKL25Z128VLH4 LQFP64	0,90€	0,90€
39	1	U11	MAX3232 SOP16	1,236€	1,236 €
40	1	U12	MCP6294 SOP14	1,23€	1,230 €
41	3	U14,U15,U18	74HC04 SOP14	0,244€	0,732 €
42	1	U16	LM22672-ADJ	1,84€	1,840 €
43	1	U17	FAN2504 SOP8	0,403€	0,403 €
44	1	Y1	8 MHz	2,42€	2,420 €
*Todos los precios se han obtenido de RS Amidata y se pueden obtener mucho más baratos en otros distribuidores.			Total		43,14€

6 Conclusiones

Se puede asegurar que durante la planificación y ejecución del TFC se han conseguido todos los objetivos marcados. Durante este tiempo también se han sufrido desviaciones sobre lo planificado por motivos técnicos y por falta de tiempo. Los principales motivos de las desviaciones han sido:

- Mala selección del microprocesador en el apartado del hardware. En el seleccionado en primer lugar no cabía el firmware al añadir las tablas de traslación de caracteres.
- Problemas familiares de salud que han ido robando tiempo poco a poco.

Para mitigar estas desviaciones se tomaron medidas de contingencia como la mayor dedicación durante los fines de semana y el uso de herramientas más conocidas como Orcad y Codewarrior.

En cuanto al aspecto técnico se tomó una solución hardware ligeramente atrevida. Se decidió esta vía de trabajo porque en cuanto a lo que al desarrollo de firmware se refiere, ya se tiene un alto nivel y se deseaba realizar un esfuerzo en la solución del hardware. Durante el diseño del hardware se encontraron dificultades sobre todo en el control de las corrientes de los LEDs y en las simulaciones. Hay que tener muy claro cuál es el objetivo final para poder ir definiendo poco a poco las diferentes etapas del hardware. Estoy encantado con la solución hardware que se ha conseguido. Con solamente cuatro líneas se ha conseguido el manejo de los 256 LEDs.

Otro de los retos del desarrollo ha sido la industrialización de la solución final. Para el diseño de la PCB se pensaba realizar todo el proceso con *Proteus* pero al final se decidió realizarlo con Orcad y con Cadstart por problemas en la definición de huellas y en la simulación con PsPice. Este es el punto más débil del desarrollo. En mi opinión se debe trabajar más a fondo el ruteado de las pistas.

Me hubiera gustado montar un prototipo con la solución final pero la falta de tiempo no me lo permitió. Como líneas de trabajo futuras se piensa en dividir el diseño en dos bloques: la fuente de alimentación y el microprocesador, y por otra parte el control de la matriz de LEDs. De este modo se podrá ampliar la solución a n matrices de LEDs que serán controladas por un solo microcontrolador.

Para finalizar, se ha disfrutado mucho realizando el TFC. Como ya se ha comentado, sobre todo en la parte del hardware que ha supuesto un reto. En mi opinión, ha sido bastante ingeniosa. Se podía haber optado por montar dispositivos I2C y cargar todo el peso del desarrollo en la parte del firmware, pero con una buena solución hardware como esta se eliminan los problemas de comunicaciones y las latencias entre comandos, además de una uniformidad en la luminosidad de la matriz ya que todos los LEDs están alimentados por la misma fuente de corriente.

Una gran experiencia que enriquece los estudios cursados en la UOC. Gracias.

7 Bibliografía

- Photodiode/Phototransistor Application Circuit*. (1999). Obtenido de Sharp:
http://physlab.lums.edu.pk/images/1/10/Photodiode_circuit.pdf
- ALS-PD70-01C-TR7.pdf*. (2014). Obtenido de Everlight:
<http://www.everlight.com/file/ProductFile/201407061524148948.pdf>
- BC817.pdf*. (2014). Obtenido de NXP:
http://www.nxp.com/documents/data_sheet/BC817_BC817W_BC337.pdf
- CD4017B*. (2014). Obtenido de Texas Instruments:
<http://www.ti.com/lit/ds/symlink/cd4017b.pdf>
- CD4066.pdf*. (2014). Obtenido de Texas Instruments:
<http://www.ti.com/lit/ds/symlink/cd4066b.pdf>
- Information family MKL25Z128.pdf*. (2014). Obtenido de Freescale:
http://cache.freescale.com/files/32bit/doc/ref_manual/KL25P80M48SFORM.pdf?fasp=1&WT_TYPE=Reference%20Manuals&WT_VENDOR=FREESCALE&WT_FILE_FORMAT=pdf&WT_ASSET=Documentation&fileExt=.pdf
- LS T67K - TOPLED.pdf*. (2014). Obtenido de Osram: http://www.osram-os.com/Graphics/XPic4/00099844_0.pdf/LS%20T67K%20-%20TOPLED.pdf
- Max3232.pdf*. (2014). Obtenido de Maxim:
<http://datasheets.maximintegrated.com/en/ds/MAX3222-MAX3241.pdf>
- MCP6291.pdf*. (2014). Obtenido de Microchip:
<http://ww1.microchip.com/downloads/en/DeviceDoc/21812e.pdf>
- Reference manual MKE04Z8VTG4.pdf*. (2014). Obtenido de Freescale:
http://cache.freescale.com/files/microcontrollers/doc/ref_manual/MKE04P24M48SFORM.pdf
- BC807.pdf*. (s.f.). Obtenido de NXP:
http://www.nxp.com/documents/data_sheet/BC807_BC807W_BC327.pdf
- Coughlin, R. F. (1993). *Amplificadores operacionales y circuitos integrados lineales*.
- Díaz, A. B. (s.f.). *Gestión y desarrollo de proyectos*. UOC.
- FAN2504.pdf*. (s.f.). Obtenido de Fairchild:
<https://www.fairchildsemi.com/datasheets/FA/FAN2504.pdf>
- Guerrero, F. T. (s.f.). *Nociones básicas de transistores*.

LM22672.pdf. (s.f.). Obtenido de Texas instruments:
<http://www.ti.com/lit/ds/symlink/lm22672.pdf>

Modbus.org. (s.f.). Obtenido de Modbus: <http://www.modbus.org/tech.php>

Montagut, R. B. (s.f.). *Presentación de documentos y elaboración de presentaciones*. UOC.

Pacheco Navas, C. A. (2005). *PlanTrabajo_ejemplo.pdf*. UOC.

Pacheco Navas, C. A. (2014). *89038_20141_AplicacionsElectro_cpacheco.pdf*. UOC.

Sáenz Higuera, N., & Vidal Oltra, R. (s.f.). *Redacción de textos científico-técnicos*. UOC.